МИНИСТЕРСТВО ОБРАЗОВАНИЯ И НАУКИ РОССИЙСКОЙ ФЕДЕРАЦИИ

федеральное государственное бюджетное образовательное учреждение высшего образования

«Тольяттинский государственный университет»

	Институт машиностроен	ия		
	(наименование института полностью)			
Кафедра	афедра «Проектирование и эксплуатация автомобилей»			
1 - 1	(наименование кафедры)			
23.05.01 «	Наземные транспортно-техноло	гические средства»		
(код и наименование направления подготовки, специальности)				
	Автомобили и тракторы			
	(направленность (профиль)/специализаци	я)		
	дипломный про	DEKT		
на тему	Модернизаци	R		
переднепривод	ного легкового автомобиля 2 кл	асса. Передняя подвеска		
1		* * * * * * * * * * * * * * * * * * * *		
Студент	Р.Н. Хаников			
- 771-	(И.О. Фамилия)	(личная подпись)		
Руководитель	М.В. Прокопьев			
•	(И.О. Фамилия)	(личная подпись)		
Консультанты	И.В. Краснопевцева			
	(И.О. Фамилия)	(личная подпись)		
	А.М. Москалюк			
	(И.О. Фамилия)	(личная подпись)		
	А.Г. Егоров			
	(И.О. Фамилия)	(личная подпись)		
	О.В. Головач			
	(И.О. Фамилия)	(личная подпись)		
Допустить к защи	те			
И.о. заведующего	кафедрой к.т.н., доцент А.В. (ученая степень, звание, и			
« »	20 18 г.			

КИЦАТОННА

В настоящей квалификационной работе дано назначение подвески автомобиля, описаны законодательные требования в части конструкции подвески, приведена классификация подвесок, проведен анализ развития конструкций подвесок в автомобильной промышленности, выполнен расчет тягово-динамических характеристик транспортного средства, произведен расчет упругой характеристики передней подвески, найдены параметры переднего амортизатора, разработаны чертеж установки подвески и чертеж амортизатора, разработана технологическая схема сборки, выполнен анализ конструктивных решений способных повлиять на технологический процесс, составлен перечень работ входящих в установку подвески, определены трудоемкости операций установки подвески, выбрана оптимальная форма организации производства, подтверждено соответствие проекта законодательным требованиям касающихся безопасности и экологичности, разработано описание рабочего места и применяемого инструмента, идентифицированы опасные вредные производственные И факторы, экономические показатели проекта и рассчитаны его экономическая эффективность.

ABSTRACT

The title of the diploma paper is "Modernization of front suspension of second class passenger car". This graduation work is about improving drivability and stability of the car. The author dwells on detailed classification of different suspensions.

The diploma paper consists of 80 pages, including figures, tables, 2 appendices, and the graphic part including 10 A1 sheets.

The key issue of the graduation project is shock absorber characteristics of the front suspension.

The diploma paper is divided into five main parts. The first part describes the description of the car suspension. It is also reviewed the development trends of the suspension. The second part is focused on engineering calculations, including a trailer dynamic calculation of a car, calculation of the elastic characteristics of the front suspension and the characteristics of shock absorber. In the third part the author considers the technological process of assembly of the front suspension. The forth part is represented the ecological of production and safety of the car. The readers' attention is also drawn to the confirmation that the project corresponds to the legal requirements in terms of safety and environmental protection. In fifth part we report the economical calculations including the cost of designed unit and for the breakeven point of the project and also a proof of economic efficiency modernization, that confirm the opportunity to realize proposed solutions in the current mass production.

It can be concluded that this modernization can be implemented in the current mass production.

СОДЕРЖАНИЕ

	Стр.
введение	6
1 Состояние вопроса	7
1.1 Назначение подвески	7
1.2 Требования, предъявляемые к подвеске	7
1.3 Варианты конструкций подвесок	8
1.4 Обзор направлений развития конструкций подвесок	10
1.5 Обоснование проектируемой конструкции подвески	17
2 Защита интеллектуальной собственности	19
3 Конструкторская часть	20
3.1 Расчет тягово-динамических характеристик автомобиля	20
3.2 Обоснование компоновочной схемы подвески	.21
3.3 Определение характеристик демпфирования колебаний	И
неподрессоренных масс автомобиля	21
4 Технологическая часть	30
4.1. Анализ технологического процесса установки подвески	30
4.2 Технологичность разрабатываемой конструкции подвески	30
4.3 Технологическая схема установки подвески	32
4.4 Перечень сборочных работ	33
4.5 Трудоемкость установки подвески	36
4.6. Организационная форма установки подвески	37
5 Технико-экономическая оценка модернизируемой подвески	39
5.1 Себестоимость модернизированной подвески	39

5.2 Точки безубыточности производства подвески	43
5.3 Коммерческая эффективность модернизации подвески	45
5.4. Экономический эффект от повышения надежности и долговеч	ности
деталей проектируемой подвески	49
5.5 Вывод	53
б Безопасность и экологичность технического объекта	55
6.1 Конструктивно-технологическая и организационно-техни	ческая
характеристика рассматриваемого технического объекта	55
6.2 Идентификация профессиональных рисков	59
6.3 Мероприятия по уменьшению профессиональных рисков	61
6.4 Пожарная безопасность сборочного участка	63
6.5 Экологическая безопасность сборочного участка	65
б.6 Заключение	65
ЗАКЛЮЧЕНИЕ	67
СПИСОК ИСПОЛЬЗУЕМЫХ ИСТОЧНИКОВ	68
ПРИЛОЖЕНИЯ	71
ПРИЛОЖЕНИЕ А ГРАФИКИ ТЯГОВОГО РАСЧЕТА	71
ПРИЛОЖЕНИЕ Б СПЕЦИФИКАЦИЯ	75

ВВЕДЕНИЕ

Автомобилестроение – это отрасль хозяйственной деятельности человека, которая осуществляет производство транспортных средств с двигателями внутреннего сгорания, электромоторами или другими силовыми установками. Автомобилестроение является наукоемкой, капиталоемкой и ресурсоемкой отраслью. Данная отрасль потребляет продукцию других отраслей, таких как металлургия, химическая промышленность, электротехническая промышленность. Значительное количество людских ресурсов, прямо или косвенно, задействовано в автомобилестроении. Рост и развитие автомобилестроения побуждает к росту и развитию других отраслей промышленности.

Современный автомобиль – технически сложный продукт. Поскольку автомобиль играет важную роль в жизни человека его производство подчиняется государственным, а также международным законодательным автомобили В целом современные c большим нормам. запасом удовлетворяют ЭТИМ требованиям. Однако производители постоянно характеристики своих автомобилей чтобы улучшают увеличить ИХ привлекательность в глазах потребителей.

В настоящей квалификационной работе производится улучшение курсовой устойчивости и управляемости транспортного средства с помощью модернизации конструкции передней подвески.

1 Состояние вопроса

1.1 Назначение подвески

«Подвеска автомобиля предназначена для организации упругой связи между кузовом автомобиля (или рамой) с колесами.»[7]

Подвеска гасит динамические нагрузки, вызванные неровностями дорожного полотна. Передняя подвеска, помимо прочего, вкупе с рулевым управлением обеспечивают кинематику управляемых колес.

1.2 Требования, предъявляемые к подвеске

Требования предъявляемые конструкции К подвески ΜΟΓΥΤ существенно различаться от автомобиля к автомобилю. Это вызвано многими факторами, условия эксплуатации, такими как ценовое позиционирование автомобиля, величина запаса прочности, которую закладывают конструктор.

Однако можно выделить несколько универсальных требований, которые будут справедливы для большинства автомобилей. При этом необходимо понимать, что основным требованием к подвеске является обеспечение соответствия автомобили государственным или международным требованиям. Конструкция подвески автомобиля должна обеспечивать приемлемое значение ездовых показателей, таких как курсовая устойчивость, управляемость, плавность хода, а также низкий уровень шумов. Также существует ряд требований, которые не относится к законодательным, но учитываются конструктором при проектировании подвески. Первое из них касается массы и габаритов. Детали и узлы подвески должны быть легкими и компактными. Следующее касается технологичности. Согласно этому требованию подвеска должна быть простой и удобной в изготовлении, при монтаже, а также при обслуживании. Стоимость подвески должна быть экономически оправданной. Это позволяет сделать финальную цену автомобиля более привлекательной для конечного потребителя.

1.3 Варианты конструкций подвесок

В основе классификация типов конструкции подвесок лежит наличие взаимосвязи между колесами одной оси при их перемещении. Подвеска, для которой характерно отсутствие влияние перемещение одного колеса на положение другого в одной оси называется независимой. В случае, когда такое влияние присутствует подвеска называется зависимой.

Зависимая подвеска имела наибольшую популярность автомобилестроения. Однако, для современного этапа автомобилестроения характерна совершенно обратное картина – независимая подвеска вытесняет зависимую практически во всех классах автомобилей. Зависимая подвеска значение дорожного просвета постоянным, (что особенно актуально для внедорожников), достаточно проста в обслуживании и ремонте, обладает относительно невысокой стоимостью. Слабой стороной такой конструкции является низкая плавность хода в виду большой величины неподрессоренной массы. Помимо этого, перемещение балки требуют большого свободного пространства, что существенно усложняет компоновку автомобиля. Стоит также отметить, что некоторые конструкция зависимых подвесок в виду своих особенностей имеют большое значение перемещения оси в поперечном направлении, что в свою очередь отрицательно влияет на курсовую устойчивость.

Практически всех этих недостатков лишена независимая подвеска. Неподрессоренные массы в такой конструкции значительно меньше, а показатели курсовой устойчивости и управляемости выше. Компоновка автомобиля с такой подвеской существенного проще. Однако такая конструкция более трудоемкая при монтаже на конвейере и при обслуживании в сервисе. Это неминуемо приводит к удорожанию. В виду постоянно меняющегося дорожного просвета реже применяется в тяжелых внедорожниках и вездеходах, а в виду небольшой грузоподъемности практически не применяется в коммерческом транспорте и грузовиках. Из-за

наличия большего количества деталей и соединений надежность такой подвески в целом ниже чем у зависимой.

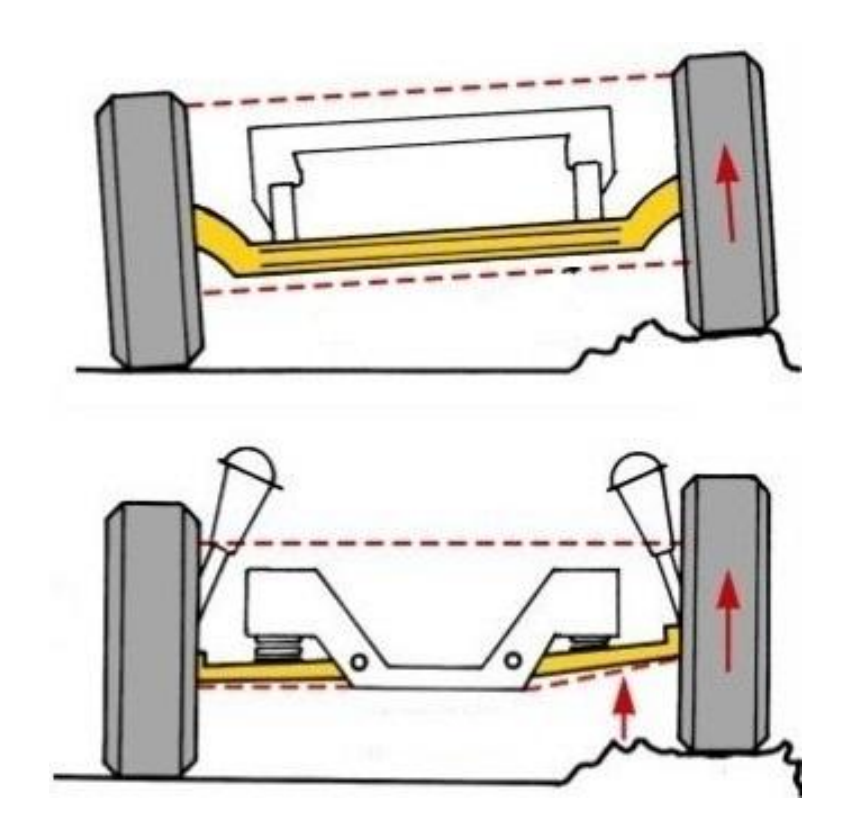


Рисунок 1 – Принцип работы, зависимой (сверху) и независимой (снизу) подвесок

Также существует вариант конструкции подвески называемый полузависимой. В данной схеме два продольных рычага закреплены на кузове и соединены между собой деталью, которая скручивается при разноименном ходе подвески. Ход одного из колес в данной подвеске изменяет на положение другого, что является отличительным признаком зависимой подвески. В тоже время углы установки колёс меняется в зависимости от их перемещения, что характерно для независимой подвески. Отсюда и такое название.

Еще одной отличительной особенностью подвесок является способность изменения характеристик элементов и, как следствие, ездовых свойств автомобиля в целом. Используя данный признак все подвески можно разделить на активные и неактивные.



Рисунок 2 – Вариант исполнения полузависимой подвески

1.4 Обзор направлений развития конструкций подвесок

В современном автомобилестроении наиболее популярной конструкцией подвески, используемой в передней оси автомобиля, является подвеска типа МакФерсон, также известная как качающаяся свеча. В данной подвеске нижний рычаг через шаровой шарнир крепится кулаку, к которому прикреплены пружина, амортизатор и верхняя опора с подшипником объединенные в один узел, который называется амортизационной стойкой. Этот узел одновременно выполняет роль направляющего, упругого и виброгасящего Такое решение гораздо эффективнее элементов. экономическом плане, чем применение отдельно рычага, пружины и амортизатора с сопутствующими элементами крепления. Помимо этого, данная конструкция подвески достаточно компактна, что делает применение более предпочтительным в компоновочном плане. Требуется только организовать крепление нижнего рычага и амортизационной стойки (обычно в верхней части арки колеса). Отсутствие верхнего рычага позволяет приблизить лонжерон к амортизационной стойки, тем самым увеличив объем подкапотного пространства. Монтаж подвески МакФерсон не вызывает затруднений, так как на автосборочный завод она приходит в крупноузловом виде. Ремонт данной подвески также достаточно прост в виду малого количества входящих в ее состав деталей.

«При этом следует отметить, что в данном типе подвески требуется применение амортизатора со штоком повышенной размерности, так как стойка воспринимает все три вида нагрузок: боковую, продольную и вертикальную.» [5]

Кроме того, в обеспечении ездовых характеристик данный тип подвески всё же уступает двухрычажным конструкциям.



Рисунок 3 – Условное изображение подвески МакФерсон

Также широкое распространение в современном автомобилестроении получила конструкция с двумя поперечными рычагами. В ней рычаги с помощью резинометаллических шарниров крепятся на кузове или подрамнике, а с поворотным кулаком соединяются через шаровые шарниры. В двухрычажной подвеске изменения значений углов установки колес в зависимости от их хода значительно меньше, чем в подвеске МакФерсон. Таким образом, ездовые характеристики автомобиль с такой подвеской

значительно выше. Однако и недостатков в сравнении с подвеской МакФерсон у данной конструкции также немало. В виду большего количества узлов, такая подвеска имеет большую массу, сложнее при монтаже, а также обладает меньшей надежностью и требует больше компоновочная пространства.



Рисунок 4 — Условное изображение подвески на двойных поперечных рычагах

Также в качестве передней подвески автомобили может использоваться зависимая схема. Встретить такой вариант применения зависимой подвески можно встретить обычно у тяжелых внедорожников. В такой конструкции в качестве направляющих элементы используются продольные штанги (верхние или нижние) или возможно применение вместо них массивных кованых рычагов, а также тяги Панара. В качестве упругих элементов применяются в основном пружины, а в качестве демпфирующих – амортизаторы. Основное преимущество такого решения было озвучена ранее, а именно постоянный дорожный просвет, что является необходимым условием для движения по сложной пересеченной местности. Помимо этого, длинные штанги обеспечивают большие хода подвески по сравнению с

короткими рычагами независимых схем. Однако по своим ездовым характеристикам такая подвеска значительно уступает независимым.

Одним из интересных вариантов зависимой подвески используемых в автомобиля является передней оси торсионная подвеска. такой конструкции в качестве упругого элемента используется длинный стержень, работающий на скручивание. Обычно торсион крепится к нижнему рычагу в продольном направлении автомобиля. Предварительно закручивая торсион можно осуществлять регулировку жесткости подвески. Это является основным преимуществом данной конструкции. Помимо этого, торсион дешевле пружины и, в целом, проще в изготовлении. Также масса его значительно меньше в сравнении, например, с многолистовой рессорой. Среди недостатков такого решения онжом выделить невысокую грузоподъемность, а также сложности в компоновке вызванные значительной длиной торсиона.



Рисунок 5 – Передняя многорычажная подвеска Audi A6

Ещё одной конструкцией, которая довольно-таки редко, но всё же применяется в передней оси автомобиля является многорычажная подвеска, также известная как мультилинк. Поворотный кулак соединяется с подрамником или кузовом с помощью рычагов и реактивных штанг, пружина

и амортизатор устанавливаются отдельно, для достижения оптимальных значений угловой жесткости стабилизатор используется поперечной устойчивости. Среди недостатков необходимо выделить большую массу в сравнении с другими типами подвесок. Для ее уменьшения в качестве материалов деталей часто используют алюминиевые сплава, что приводит к следующему недостатку – высокой стоимости. Ввиду большого количества шарниров надежность такой подвески ниже. Однако, по получаемым ездовым характеристикам многорычажная подвеска превосходит остальные Существенно увеличиваются управляемость и конструкции. устойчивость.



Рисунок 6 – Зависимая подвеска с тягой Панара

Рассмотрим варианты конструкций задних подвесок, которые получили наибольшее распространение в современных автомобилях. Задняя зависимая подвеска характерна для автомобилей с приводом на заднюю ось или с приводом на все четыре колеса. Возможно два варианта исполнения такой подвески. В первом случае используется ведущий мост. Он с помощью реактивных штанг или реже рычагов крепится прямо на кузов или раму автомобиля без использования подрамника. Варианты исполнений направляющего аппарата могут быть следующими: с помощью четырех продольных и одной поперечной штанги; с помощью четырех штанг, две из

которых развернуты под углом для восприятия боковых сил; с помощью 2 продольных рычагов и одной поперечной штанги, а также совсем редкий вариант с помощью двух продольных штанг и верхнего треугольного рычага. В схемах с поперечной штангой в зависимости от различных факторов можно использовать вместо нее механизмы Уатта или Скотта-Рассела. В зависимой подвеске в качестве упругих элементов могут быть использованы любые из вышеназванных, кроме торсионов.

Следующим вариантам исполнения зависимой подвески является схема, в которой редуктор расположен отдельно на кузове. Такая конструкция получила название Де Дион. В её основе лежит жесткая балка, которая закреплена на кузове с помощью одного или двух шарниров. Такое решение позволяет снизить величину неподрессоренной массы, дает выигрыш в компоновочном плане за счёт отсутствия перемещения редуктора. Среди недостатков можно выделить необходимость организации дополнительных точек крепления редуктора на кузове, а также ограничение накладывающиеся на хода подвески в виду предельных значение углов шарниров полуосей.

Одним из популярных вариантов исполнение независимой подвески в задней оси является подвеска Чепмэна. Аналог подвески МсPherson для передней оси, отличающийся от неё тем лишь, что поворот колес в такой схеме невозможен. Такая конструкция достаточно проста, а количество входящих в нее элементов невелико, что обеспечивает ее невысокую стоимость. Подрамник, использующийся при этом, может быть достаточно простым. Такая схема может быть использована для автомобилей как с приводом на заднюю ось, так и без него. В целом такая конструкция обеспечивает приемлемые ездовые характеристики, достаточные для автомобилей средней ценовой категории.



Рисунок 7 – Подвеска Чепмэна

В более дорогих автомобилях всё чаще применяются многорычажные конструкции. Количество элементов в направляющем аппарате может доходить до 5 штук, а иногда и более. Чтобы закрепить все эти рычаги применяется более сложный, а, следовательно, и тяжёлый подрамник. Очевидно, что стоимость такой конструкции значительно выше чем у предыдущего варианта, однако и уровень ездовых характеристик значительно лучше. Исполнений многорычажных подвесок достаточно много. Самым знаменитым является подвеска Control Blade, разработанная инженерами Ford.

Основным элементом данной конструкции является массивный продольный рычаг, сваренный из листоштампованных деталей. Ступичный узел крепится непосредственно на данный рычаг. «Помимо поперечных рычагов данная схема имеет корректирующую тягу, которая задает оптимальное изменение развала и схождения колес в зависимости от ходов подвески.»[4]

Наиболее распространенной конструкцией задней подвески является подвеска Twist Beam или полузависимая подвеска. Ездовые свойства данной схемы нельзя назвать выдающимися, однако, этот недостаток перекрывается множеством преимуществ. Монтаж такой подвески чрезвычайно прост. Для закрепления ее на кузове требуется от четырех до шести точек. Масса её значительно меньше зависимых и независимых аналогов. Стоимость такой конструкции также существенно меньше, что определило её сверх популярности в автомобилях бюджетного и среднего ценовых сегментов. Данная схема не требует большого компоновочного пространства, так как соединитель расположен достаточно близко к шарнирам и при ходах подвески перемещение его относительно небольшое. Однако подобное расположение соединителя значительно усложняет организацию полного привода. Решение данной проблемы возможно с помощью применения соединителя дугообразной формы или использования электродвигателя в задней оси автомобиля. Полузависимая подвеска проста в обслуживании в виду отсутствие регулировок установки колёс, а также минимального числа шарниров.



Рисунок 8 – Полузависимая подвеска

1.5 Обоснование проектируемой конструкции подвески

Базовым объектом для модернизации выбрана передняя подвеска автомобиля LADA GRANTA. Этот автомобиль считается одним из

оптимальных предложений на российском рынке, совмещающем в себе высокий уровень качества сборки и богатый набор дополнительного оснащения при доступной стоимости. Хотя в линейке присутствуют два типа кузова, большая часть проданных автомобилей являются седанами. Кузов лифтбэк пользуется стабильным, но все же небольшим спросом. Granta в кузове седан и выбрана для модернизации.

Совершенствование конструкции бюджетных автомобилей сильно ограничена в части капитальных затрат, конечной целью в данном сегменте является конечная стоимость автомобиля. Поэтому в первую очередь реализуются решения, которые не только важны для конечного потребителя, но и имеют невысокую стоимость. Поэтому в данной квалификационной работе совершенствуется управляемость и курсовую устойчивость транспортного средства путем модернизации амортизатора передней подвески.



Рисунок 9 – Передняя подвеска LADA GRANTA

\sim	2		U	_
,	Каннита	интеппекту	иапьнои	собственности
_	эащита	riii Cololon I	y asibiiori	COOCIDCIIIOCIN

Не предусмотрено.

3 Конструкторская часть

3.1 Расчет тягово-динамических характеристик автомобиля

Привод колес: Переднеприводный

Количество мест: 5

Количество передач трансмиссии: 5

КПД транемиссии: $\eta_{TP} = 0.9$

Шина: 185/65*R*14

Максимальная скорость: $\upsilon_{\max} = 180 \kappa M/v$

Масса тр. средства: $m_a = 1088 \, \mathrm{kr}$

Коэф. аэродин. сопр-ния: $C_x = 0.32$

Коэф. сопротивл. качению: $f_0 = 0.012$

Преодолеваемый уклон: i = 0,3

 $ω_a^{min} = 1000 o \delta / MuH$

Обороты ДВС $\omega_e^{\text{max}} = 6000 \, ob / \text{мин}$

 $\omega_{\scriptscriptstyle N}=5600\,o \delta$ / мин

Тягово-динамический расчет автомобиля можно считать базой при его проектировании. Тягово-динамическим расчетом является совокупность расчетов силового агрегата и трансмиссии транспортного средства. Подбор размерности колес также осуществляется в рамках данного расчета. В данной работе в части тягово-динамического расчета были определены следующие характеристики:

- внешнескоростная характеристика двигателя (ВСХ);
- передаточные числа коробки переключения передач;
- тяговый баланс;
- -динамическая характеристика;
- ускорения на различных передачах;
- время и путь разгона;
- мощностной баланс;
- характеристика топливной экономичности.

Результаты вышеуказанных расчетов показаны в виде графиков в приложении А настоящей дипломной работы.

3.2 Обоснование компоновочной схемы подвески

В настоящем курсовом проекте совершенствуется передняя подвеска Lada Granta изготавливаемого ПАО ABTOBA3. Конечная цель модернизации улучшение управляемости и курсовой устойчивости транспортного средства. Возможных решений поставленной задачи достаточно много, среди изменения текущей конструкции подвески на схему с двумя поперечными рычагами, применение управляемых упругих и демпфирующих элементов как части системы адаптивной подвески, а также прочие решения. Однако, предлагаемые в рамках модернизации конструкторские решения не должны требовать значительных капитальных затрат и срок их реализации должен быть достаточно коротким. Принимая во внимание тот факт, что передняя подвеска автомобиля LADA GRANTA обладает небольшой стоимость и, в целом, уровень ее ездовых характеристик соответствует среднему текущему в отрасли, оставляем компоновочную схему без изменений. Предлагаемое улучшение демпфирующего элемента не потребует инвестиций модернизацию будет крупных на производства, НО чувствительно для потребителя.

3.3 Определение характеристик демпфирования колебаний и неподрессоренных масс автомобиля

Скоростная характеристика стойки подвески, полученная на заводеизготовителе во время практики будет являться источником входных данных (рисунок 5). Подтверждение характеристик амортизатора, а также соответствие его условиям долговечности происходит при значениях скоростей движения штока 0.105 м/с и 0.314м/с.

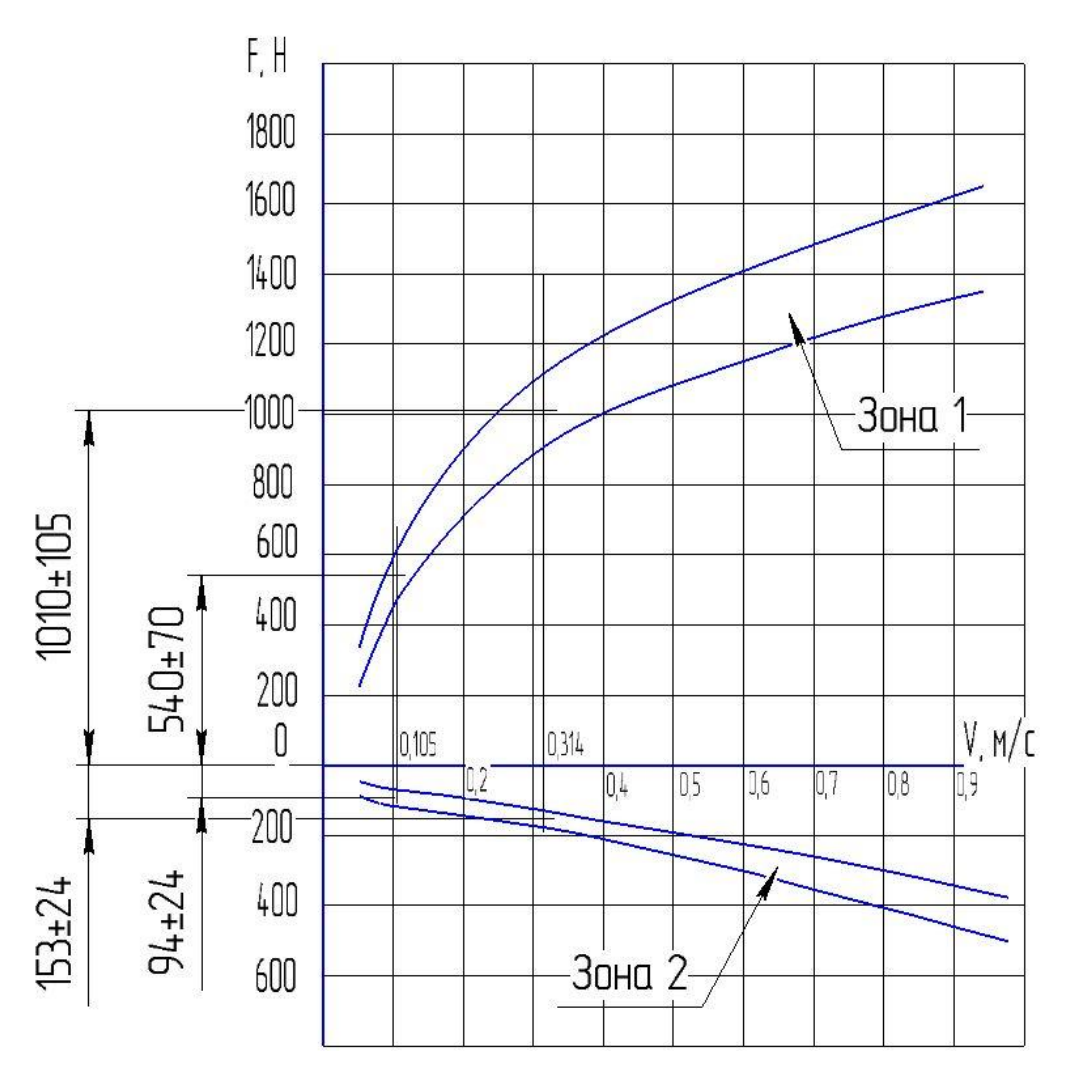


Рисунок 10 - Скоростная характеристика стойки передней подвески автомобиля LADA GRANTA

Средний коэффициент демпфирования стойки:

$$K_{CT} = \frac{F_{cxc} + F_{om6}}{2 \cdot D} \tag{3.1}$$

где « $F_{c = \infty}$ - усилие амортизаторной стойки на сжатие в первой контрольной точке;»[8]

 $\ll F_{om \delta}$ - усилие амортизаторной стойки на отбой в первой контрольной точке;»[8]

 υ - скорость движения штока стойки.

«Средний коэффициент демпфирования амортизаторной стойки при дроссельном режиме работы:» [8]

$$K_{DCT} = \frac{94 + 5400}{2 \cdot 0.105} = 3019 \ H \cdot c /_{M}$$

Рассчитаем ту же величину и для клапанного режима:

$$K_{KCT} = \frac{153 + 1010}{2 \cdot 0.314} = 1852 \ H \cdot c_{M}$$

Зная значение передаточного отношения стойки вычисляем средний коэффициент демпфирования:

$$K = \frac{K_{CT}}{i_{CT}^2},\tag{3.2}$$

где i_{CT} - передаточное отношение амортизаторной стойки, для автомобиля LADA GRANTA $i_{CT}=1.054$

Определим значения данного коэффициента для обоих режимов работы амортизатора:

$$K_D = \frac{K_{DCT}}{i_{CT}^2} = \frac{3019}{1,054^2} = 2718 \ H \cdot c_M -$$
 для дроссельного режима

$$K_{\scriptscriptstyle K} = \frac{K_{\scriptscriptstyle KCT}}{i_{\scriptscriptstyle CT}^2} = \frac{1852}{1,054^{\,2}} = 1667 \ \ H \cdot c/_{\scriptscriptstyle M}$$
 - для клапанного режима

«Получив значение среднего коэффициента демпфирования можно найти коэффициент относительного демпфирования подрессоренной и неподрессоренной массы транспортного средства:» [9]

$$\psi_{\Pi} = \frac{K}{2 \cdot \sqrt{m_{\Pi} \cdot C_{Z}}},\tag{3.3}$$

где «К - коэффициент демпфирования стойки в отношении колеса;»[8]

 $\ll m_{\Pi}$ - подрессоренная масса для одного колеса;»[8]

« C_z - вертикальная жесткость передней подвески.»[8]

Подрессоренная масса для одного колеса:

$$m_{\Pi} = \frac{m_{\Pi\Pi}}{2} - m_{H}, \qquad (3.4)$$

где $m_{\Pi\Pi}$ - масса, приходящаяся на переднюю ось при полной загрузке. Для автомобиля $m_{\Pi\Pi}=756,5\kappa 2$.

 $\ll m_H$ - неподрессоренная масса, приходящаяся на одно колесо передней оси.» [10]

Для автомобиля LADA GRANTA $m_H = 37\kappa 2$.

В результате получаем:

$$m_{II} = 750/2 - 37 = 341,3$$
ke

Вертикальная жесткость передней подвески:

$$C_Z = \frac{C_{IIP}}{i_{CT}^2} + C_{III}, (3.5)$$

где $C_{\mathit{\PiP}}-$ жесткость пружины. В соответствии с КД $C_{\mathit{\PiP}}=$ 18.6 $\kappa H/M$

« $C_{{\scriptscriptstyle I\!I\!I}}$ - жесткость шарниров, приведенная к колесу.»[4]

Согласно справочным данным значение этой величины лежит в диапазоне 1..3 кH/м. С учетом рекомендаций, полученных во время практики принимаем $C_{III} = 2 \frac{\kappa H}{M}$

В результате рассчитываем значение жесткости:

$$C_Z = \frac{18.6}{1.054^2} + 2 = 18,74 \text{ KH/M}$$

Коэффициент относительного демпфирования колебаний подрессоренной массы для выбранных ранее режимов:

$$\psi_{\it IID} = \frac{K_{\it D}}{2 \cdot \sqrt{m_{\it II} \cdot C_{\it Z}}} = \frac{2718}{2 \cdot \sqrt{341,3 \cdot 18740}} = 0,54$$
 - для дроссельного режима

$$\psi_{_{\it ПK}} = \frac{K_{_{\it K}}}{2 \cdot \sqrt{m_{_{\it I\!I}} \cdot C_{_{\it Z}}}} = \frac{1365}{2 \cdot \sqrt{341,3 \cdot 18740}} = 0,33$$
 - для клапанного режима

Данные результаты применимы для одноименного хода подвески. Для разноименного хода подвески необходимо учитывать работу стабилизатора поперечной устойчивости. Чтобы определить вертикальную жесткость подвески для данного режима используем формулу:

$$C_Z = \frac{C_{IIP}}{i_{CT}^2} + C_{III} + C_{CTZ}, \qquad (3.6)$$

где $C_{\it CTZ}$ - вертикальная жесткость от стабилизатора на колесе.

$$C_{CTZ} = \frac{C_{CT0} \cdot b_G}{i}, \tag{3.7}$$

где C_{CT0} - «жесткость штанги стабилизатора поперечной устойчивости;»[8]

 $b_G = 0.9$ - «коэффициент, учитывающий влияние подушек крепления штанги стабилизатора к кузову;»[8]

i - «передаточное число штанги стабилизатора к колесу.»[8]

Конструкция подвески модернизируемого транспортного средства предполагает крепление штанги стабилизатора к рычагу и передаточное число будет равно i=1.87

Жесткость штанги стабилизатора поперечной устойчивости передней подвески:

$$C_{CT0} = \frac{d^4 \cdot 6.18 \cdot 10^5}{2 \cdot l_0^3 + l_5^2 \cdot L_S + 7.78 \cdot l_2 \cdot l_7^2 - 2 \cdot l_4^3},$$
(3.8)

Геометрические размеры li определяем согласно рисунку 6.

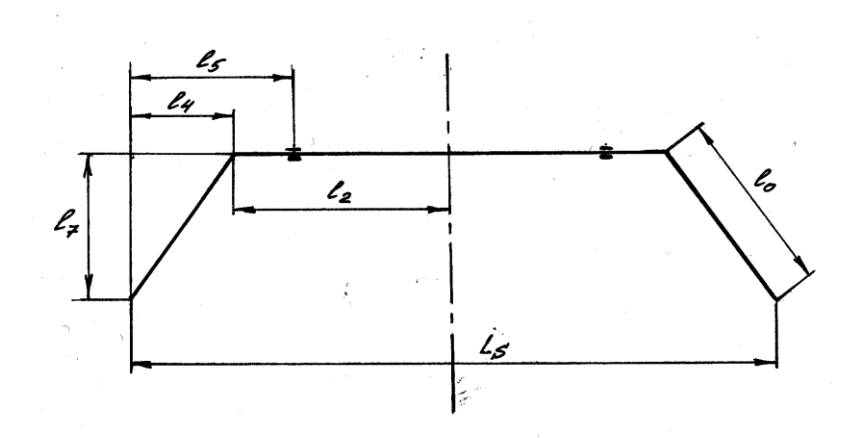


Рисунок 11 - Стабилизатор поперечной устойчивости

Штанга стабилизатора поперечной устойчивости соединяется с рычагом передней подвески через короткие стойки с резиновыми шарнирами. Центры этих шарниров будут базовыми для определения длин характерных участков стабилизатора:

 $l_0 = 230.7 \text{ мм};$

 $l_2 = 380 \,\text{мм};$

 $l_4 = 150 \,\text{мм};$

 $l_5 = 170 \,\text{мм};$

 $l_7 = 192 \,\text{мм};$

 $L_{\rm S} = 1060 \, {\rm MM};$

d = 22 MM.

Рассчитываем жесткость штанги стабилизатора:

$$C_{CT0} = \frac{0,022^{4} \cdot 6.18 \cdot 10^{5}}{2 \cdot 0,2307^{3} + 0,170^{2} \cdot 1,06 + 7.78 \cdot 0,38 \cdot 0,192^{2} - 2 \cdot 0,15^{3}} = 92 \ \kappa H / M$$

«Жесткость штанги стабилизатора поперечной устойчивости, приведенная к колесу» [6], будет равна:

$$C_{CTZ} = \frac{92 \cdot 0.9}{1.87} = 44,26 \text{ KH/}_{M}$$

Рассчитанная величина актуальна для разноименного хода подвески. В случае, когда одно колесо попадает в яму, а второе двигается по ровной дороге, величину жесткости подвески будет меньше два раза:

$$C_{CTZ}^{*} = \frac{C_{CTZ}}{2} = \frac{44,26}{2} = 22,13 \text{ kH/}_{M}$$
 (3.9)

Пересчитаем значение вертикальной жесткости подвески с учетом этого значения:

$$C_Z = \frac{18.6}{1,054^2} + 2 + 22.13 = 40.9 \text{ KH/M}$$

Вновь рассчитываем относительное демпфирование колебаний подрессоренных масс используя полученные выше данные:

$$\psi_{\it IID} = \frac{K_{\it D}}{2 \cdot \sqrt{m_{\it H} \cdot C_{\it T}}} = \frac{2718}{2 \cdot \sqrt{341,25 \cdot 40900}} = 0,36$$
 - для дроссельного режима

$$\psi_{\it ПK} = \frac{K_{\it K}}{2 \cdot \sqrt{m_{\it II} \cdot C_{\it Z}}} = \frac{1667}{2 \cdot \sqrt{341,25 \cdot 40900}} = 0,22$$
 - для клапанного режима

Наилучшая плавность хода транспортного средства может быть достигнута в случае если значение коэффициента относительного демпфирования колебаний подрессоренной массы располагается в пределах от 0,25 до 0,3. Предыдущие расчеты показали, что жесткость передней

подвески при разноименных ходах недостаточна с одной стороны, а с другой стороны избыточна при одноименном ходе. Тем не менее, учитывая то обстоятельство, что жесткость подвесок автомобилей на текущем этапе развития отрасли постепенно увеличивается, необходимо увеличить значение коэффициента относительного демпфирования. Данное решение будет способствовать улучшению управляемость и курсовую устойчивость, и как следствие, улучшению активной безопасность при приемлемом ухудшении плавности хода.

Подобрав коэффициент относительного демпфирования колебаний подрессоренных масс и можно определить средний коэффициент демпфирования стойки:

$$\psi_{\Pi K} = \frac{K_K}{2 \cdot \sqrt{m_{\Pi} \cdot C_Z}} = 0.27$$

$$K_K = \psi_{\Pi K} \cdot \left(\sqrt{m_{\Pi} \cdot C_Z} \right)$$
(3.10)

$$K_K = 0.27 \cdot \left(\cdot \sqrt{341,25 \cdot 40900} \right) = 2016,7 \ H \cdot c_M$$
 (3.11)

Округляем до $K_K = 2017 \ H \cdot c_M$

В отбое усилие в демпфере увеличивается значительно, следовательно, требуется увеличить также усилие и при сжатии для того чтобы увеличить средний коэффициент демпфирования. Определим необходимую величину усилия амортизатора при ходе сжатия с помощью выражения:

$$K_{KCT} = \frac{F_{c,\infty} + 1010}{2 \cdot 0,314} = 2017 \quad H \cdot c /_{M}$$

$$F_{c,\infty} = \mathbb{C}_{KCT} \cdot 2 \cdot \upsilon - F_{om6}$$

$$F_{c,\infty} = \mathbb{C}_{017} \cdot 2 \cdot 0,314 - 1010 = 256,7 \quad H$$
(3.12)

В демпфере усилие при ходе сжатия обеспечивается за счет трех дисков, толщина которых составляет 0,1мм. Один из них имеет специальные дроссельные отверстия, остальные два - нет. Жесткости дисков имеют кубическую зависимость от их толщины. Точный расчет жесткости данных

дисков достаточно трудоемкий, однако, приблизительное ее значение можно найти по следующей формуле:

$$C_d = a^3 \cdot y, \tag{3.13}$$

где a - толщина диска клапана сжатия;

у - коэффициент, учитывающий конструктивные параметры диска клапана сжатия.

Нахождения значения коэффициента y в рамках данной работы будет избыточным, поэтому в данной расчете оптимальная жесткость будет достигаться за счет изменения толщин указанных ранее дисков.

Жесткость базового амортизатора:

$$C_{CK} = C_{d1} + C_{d2} + C_{d3} (3.14)$$

$$C_{CKB} = 0.1^3 \cdot y + 0.1^3 \cdot y + 0.1^3 \cdot y = 0.003 \cdot y$$

Для того чтобы увеличить жесткость амортизатора, следует увеличить толщину диска клапана сжатия на 0.02мм, т.е. до 0.12мм:

$$C_{CKII} = 0.1^3 \cdot y + 0.1^3 \cdot y + 0.12^3 \cdot y = 0.00373 \cdot y$$

Прирост жесткости демпфера относительно базовой конструкции:

$$C_{CKII}/C_{CKE} = \frac{0,00373 \cdot y}{0,003 \cdot y} = 1,243$$

Усилие сжатия в проектируемом демпфере:

$$F_{cxcII} = 1,243 \cdot F_{cxcK} = 190 \ H$$

«средний коэффициент демпфирования и коэффициент относительного демпфирования колебаний подрессоренной массы:»[4]

$$K_{KCT} = \frac{190 + 1010}{2 \cdot 0.314} = 1911 \ H \cdot c_M$$

$$\psi_{IIK} = \frac{1911}{2 \cdot \sqrt{341,25 \cdot 40900}} = 0,26$$

В результате изменения толщины одного из дисков клапана значение относительного демпфирования колебаний подрессоренной массы теперь располагается в диапазоне, обеспечивающем оптимальное значение плавности хода автомобиля.

Определим значение данного коэффициента при одноименном ходе подвески с проектируемой конструкцией демпфера в клапанном режиме для проверки:

$$\psi_{IIK} = \frac{1911}{2 \cdot \sqrt{341,25 \cdot 18740}} = 0,38$$

Как и предполагалось значение коэффициента относительного демпфирования выходит за пределы оптимального диапазона, что говорит о вероятном снижении плавности хода транспортного средства. Тем не менее, курсовая устойчивость и управляемость улучшены. Финальное решение о приемлемости данной конструкции подвески можно будет принять после физических испытаний в составе автомобиля. Однако, учитывая указанные выше тенденции увеличения жесткости подвесок можно с высокой степенью уверенности утверждать о том, что это решение будет положительным.

4 Технологическая часть

4.1 Анализ технологического процесса установки подвески

ГОСТ 3.1109-82 содержит в себе термины и определения технологических процессов и операций, используемых в определенных отраслях промышленности. Как гласит данный стандарт технологическим процессом называют последовательность действий, результатом которых является изменение или определение состояния объекта. Объектами, над которыми данные действия выполняются могут быть изделия или заготовки.

Другими словами, технологическим процессом является последовательность взаимосвязанных действий, производимых с момента получения исходных данных и до достижения требуемого результата.

Детально-узловой состав подвески полностью идентичен составу серийной подвески модернизируемого транспортного средства. Из этого технологический онжом сделать вывод, что процесс сборки модернизированной конструкции будет аналогичным процессу для серийной подвески. Поэтому В проведении дополнительной технологической проработки нет необходимости.

Проведем анализ детально-узлового состава конструкции подвески:

- рычаг передней подвески в сборе;
- стойка передней подвески с тормозом в сборе;
- стабилизатор поперечной устойчивости передней подвески в сборе.

Исключение изменений в технологическом процессе при модернизации подвески позволяет избежать расходов на покупку и усовершенствование производственного оборудования и оснастки, а также расходов, связанных с обучением персонала, что также положительно отразиться финальной себестоимости модернизированной подвески.

4.2 Технологичность разрабатываемой конструкции подвески

Под технологичностью обычно понимают комплекс характеристик, определяющих удобство изготовления, монтажа и обслуживания технически

сложного устройства. Технологичность невозможно четко определить в каких-нибудь единицах измерения. Однако при изготовлении технических устройств технологичность по большей части определяет себестоимость, расходы на производство и последующее использование. В большинстве случаев, современные конструкции обладают большей технологичностью относительно предыдущих образцов, то есть, изготавливаются и используются с меньшими затратами и с применением более совершенных производственных процессов.

В современной промышленности технические устройства обладают высоким уровнем технологичности, а в производстве автомобилей этот показатель еще выше. Чтобы исключить возникновение различного рода дефектов изделия во время процесса сборки необходимо широко внедрять автоматизированные процессы, a затруднительно когда ЭТО ИЛИ экономически нецелесообразно следует увеличивать механизацию труда рабочего персонала. Таким образом можно существенно снизить расходы на контроль качества изготавливаемой продукции. Использование заранее подсобранных крупных узлов позволяет сократить время сборки автомобиля на конвейере, а также уменьшить потребность в производственных площадях дополнительных операций. Операции ДЛЯ выполнения связанные покупных изделий должны подтверждением качества производиться заводами их изготавливающими. Таким образом можно существенно снизить количества персонала, задействованного в контроле качества. Крепежные изделия следует применять только стандартизированные, т.к. их стоимость существенно ниже и не требуется разработка специального инструмента и приспособлений. Процессы контроля и измерения по возможности должны проходить без участия человека, т.е. в автоматическом режиме. В идеале контроль и измерение параметров должен производиться инструментом тем же инструментом, что используется для основной операции.

Технологический процесс монтажа передней подвески LADA GRANTA в большей части хорошо оптимизирован и выполняет большинство указанных выше условий. На конвейере используют крупноузловые сборки, самым обеспечивается невысокая трудоемкость. Номенклатура крепежных изделий определена таким образом, чтобы уменьшить многообразие применяемого инструмента. Расположение инструмента в именно пневмогайковертов, подобрано СВОЮ очередь, так, чтобы обеспечить при его наименьшее перемещение выполнении производственных операций.

4.3 Технологическая схема установки подвески

Технологическую схему сборки можно назвать базой технологического процесса. Технологическая схема сборки подготавливается в соответствии с данными предоставленными в конструкторской документации. В ней определяется последовательность операций, количество и наименование необходимых деталей, узлов и крепежа, а также значения крутящих моментов инструмента и усилий запрессовки.

Технологический процесс является основным, в случае изменение значений массы, габаритных размеров или физико-химических свойств устройства.

В случае, когда изменение значений массы, габаритных размеров или физико-химических свойств устройства не происходит технологический процесс называют вспомогательным. К вспомогательным технологическим процессам можно отнести обслуживание и ремонт станков и приспособлений, хранение, перемещение деталей и заготовок между рабочими постами, контроль качества и т.д.

Технологическая операция является базовым элементом технологического процесса. Технологическая операция производится работников или группой работников на определенном рабочем месте. Проведя анализ всего количества операций сборки можно рассчитать требуемое количество рабочих, а также их рабочих мест, определить

потребность в инструменте, рассчитать нормативы времени и трудоемкость производственного процесса.

Маршрутной картой называют документ, содержащий описание всех технологических операций в их хронологическом порядке.

Детально-узловой состав автомобиль описывается следующим образом: все узлы и детали разбиваются укрупненно на группы, которые обычно по составу аналогичны системам автомобиля, группы в свою очередь разбиваются на подгруппы, которые обычно соответствуют узлам, а подгруппы уже разбиваются на детали.

Существует ряд требований, применяемых к технологической схеме производственного процесса. Деление на узлы необходимо выполнить так чтобы наибольшее количество узлов устанавливалось независимо друг от друга. Также нужно учитывать, что большое количество узлов требует дополнительные складские площади и приводит к росту трудоемкости сборки. При малом количестве узлов, масса их может превысить рабочих, максимально допустимую ДЛЯ вследствие чего возникнет необходимость в организации специальных приспособлений для установки и перемещения деталей по цеху. Следует избегать частичной разборки или снятия уже смонтированных на автомобиль узлов и деталей. Детали или узлы, которым необходима подгонка или иные дополнительные действия над ними необходимо группировать в отдельные сборочные единицы.

4.4 Перечень сборочных работ

Принимая во внимание обозначенные выше условия составляем перечень работ по сборке модернизированной конструкции подвески. В данном перечне необходимо соблюдать хронологическую последовательность операций, обозначить их длительность, также указать входящие детали, узлы, специальные приспособления и инструмент, крепежные элементы и их количество.

Таблица 4.1 - Перечень сборочных работ

		T	
№	Основные и дополнительные переходы	Время,	toп,
		МИН	
1	2	3	
	1. Установка стойки передней подвески с тормозами в сборе		
1	Произвести визуальный осмотр стойки передней	0.4	
	подвески.	0.5	
2	Используя специальное приспособление смонтировать		
	стойку на автомобиль.	0.3	
3	Шайбы и гайки по 3 штуки установить на приварные		
	болты верхней опоры стойки.	0.4	
4	С помощью гайковерта выполнить затяжку гаек		
	крепления стойки с требуемой величиной крутящего		
	момента.		
	Итого:	1.6	
2. Установка стабилизатора передней подвески			
1	Произвести визуальный осмотр стабилизатора	0.4	
	поперечной устойчивости переднего.		
2	Смонтировать стабилизатор на кузов совместив	0.5	
	отверстия на кронштейнах стабилизатора и приварные		
	болты.		
3	Гайки и шайбы по 2штуки установить на приварные	0.3	
	болты.		
4	С помощью гайковерта выполнить затяжку гаек	0.4	
	крепления стабилизатора с требуемой величиной		
	крутящего момента.		
	Итого	1.6	
	3. Установка рычага передней подвески в сборе.		
1			

Продолжение таблицы 4.1

1	Произвести визуальный осмотр рычага передней	0.4
	подвески в сборе.	
2	Выставить соосно отверстия шарнира рычага и	0.3
	отверстия кузовного кронштейна.	
3	Установить болт в отверстия шарнира и кузовного	0.2
	кронштейна.	
4	Наживить гайку и шайбу крепления рычага на болт.	0.2
5	С помощью гайковерта выполнить затяжку гайки	
	крепления рычага с требуемой величиной крутящего	0.3
	момента.	
6	Выставить соосно отверстия рычага и шарнира стойки	0.4
	стабилизатора.	
7	Установить болт в отверстия рычага и шарнира стойки	0.3
	стабилизатора.	
8	Наживить шайбу и гайку на болт крепления стойки	0.2
	стабилизатора.	
9	С помощью гайковерта выполнить затяжку гайки	
	крепления стойки стабилизатора с требуемой	0.2
	величиной крутящего момента.	
10	Совместить отверстие на рычаге и конусную часть	0.4
	пальца шарового шарнира.	
11	Наживить на резьбовую часть пальца шарового	0.2
	шарнира гайку.	
12	С помощью гайковерта выполнить затяжку гайки	0.2
	крепления шарового шарнира с требуемой величиной	
	крутящего момента.	0.3
13	Выставить соосно отверстия кронштейна	
	растяжки рычага и приварных гаек на кузове.	0.5

Продолжение таблицы 4.1

14	Наживить шайбы и длинные болты по 2 штуки в	
	наружные приварные гайки на кузове.	0.2
15	Наживить шайбу и короткий болт во внутреннюю	
	приварную гайку на кузове.	0.5
	С помощью гайковерта выполнить затяжку	
6	болтов крепления кронштейна растяжки рычага с	
	требуемой величиной крутящего момента.	
	Итого:	4.8
Общее время сборочного процесса: 8 мин		

4.5 Трудоемкость установки подвески

«Суммарная трудоемкость сборки модернизированной конструкции подвески является суммой времени, затраченного непосредственно на сборку, времени, требуемого для обслуживания рабочих постов, а также времени отдыха и перерывов.» [6]

Также необходимо принимать во внимание, что монтаж стоек и рычагов производится отдельно для левой и правой сторон транспортного средства, а монтаж стабилизатора производится одновременно двумя рабочими, таким образом в суммарной трудоемкости эти операции будут учитываться по два раза.

Находим трудоемкость, необходимую для сборки передней подвески:

$$t^{OBIII}$$
 of $t = \Sigma t$ of $t = 2 \cdot (6 + 1.6 + 4.8) = 16$ muh (4.1)

Определим суммарную трудоемкость установки передней подвески:

$$t^{OBIII}_{IIII} = t^{OBIII}_{OII} + t^{OBIII}_{OII} \cdot (\alpha + \beta) 100 = 16 + 16 \cdot (4 + 4) 100 = 16.96 \text{ Muh}$$
 (4.2)

где « α — часть оперативного времени на организационно-техническое обслуживание рабочего места в процентах, $\alpha = 2\%$;»[13]

 $\ll \beta$ — часть оперативного времени на перерывы для отдыха в процентах, $\beta = 4\%$.»[13]

4.6 Организационная форма установки подвески

В условиях массового производства для монтажа модернизированной конструкции подвески наилучшим вариантом организационной формы будет поточная. Характерными особенностями этой формы считается постоянство производственного процесса и отсутствие значительных простоев, строго определенная специализация персонала и их рабочих мест, ритмичность сборки. Чтобы смонтировать подвеску на автомобиль максимально эффективно с точки зрения временных затрат и удобства перемещения работников высотное положение кузова необходимо изменять от операции к операции. Так, например, монтаж рычагов и стабилизатора требует расположения кузова выше чем, при монтаже телескопических стоек.

Продолжительность операций необходимо подбирать так, чтобы их время была кратно такту выпуска. С помощью этого можно значительно снизить время простоев и достичь прироста эффективности труда работников.

Значение такта выпуска находится с помощью следующего выражения:

$$T = \frac{\Phi_{\delta} \cdot 60}{N_{\Gamma}}, \text{ мин.} \tag{4.3}$$

где N_{Γ} - годовой объем выпуска.

Для модернизированной конструкции подвески возьмем $N_{\scriptscriptstyle \Gamma} = 150000~um$

 Φ – годовой фонд рабочего времени, который вычисляется по формуле:

$$\Phi = \mathcal{I}_P \cdot c \cdot T_{CM} \cdot \eta_P \tag{4.4}$$

где $\mathcal{I}_{P} = 259$ — количество рабочих дней в году;

c = 2 — количество рабочих смен в сутки;

 $T_{\rm CM} = 8 -$ длительность рабочей смены;

 $\ll \eta_{\scriptscriptstyle P} = 0.96$ — коэффициент потерь времени на ремонт оборудования.»[4]

Годовой фонд рабочего времени:

$$\Phi = 259 \cdot 2 \cdot 8 \cdot 0.96 = 3978$$

Такт выпуска подвески:

$$T_{H} = 60.3978 / 150000 = 1,6$$
 мин

Величина такта выпуска, рассчитанное выше и продолжительности операций, указанные в таблице 3.2 кратны друг другу, т.е. основные требования по реализации поточной формы сборки осуществлены.

5 Технико-экономическая оценка модернизируемой подвески

Объектом модернизации в данной работе является легковой автомобиля Lada Granta - яркий представитель бюджетных транспортных средств класса В. Финальная стоимость автомобиля в этом классе во многом определяет успех транспортного средства у потребителя. По соотношению цена-качество-оснащение Lada Granta превосходит большинство своих конкурентов, однако, по некоторым ходовым свойствам уступает им. Для улучшения данных свойств, в данной работе предусмотрена модернизация демпфирующего элемента.

Практически любая подразумевает собой модернизация ПОД необходимость дополнительных Поэтому В инвестициях. любая модернизация требует тщательную проработку ee экономической целесообразности. В текущем разделе работы будут определены расходы на внедрение предлагаемых решений в серийное производство, а также проанализирована коммерческая эффективность предлагаемого проекта.

5.1 Себестоимость модернизированной подвески

Все необходимые для проведения расчета данные были получены в ходе преддипломной практике в ПАО «АВТОВАЗ» и в Тольяттинском Государственном Университете от руководителя дипломного проекта и консультанта от каф. «ЭО и УП». В настоящей квалификационной работы годовая программа выпуска для модернизированной конструкции будет составлять 150000 комплектов подвесок в год.

Производство элементов шасси до недавнего времени располагалось на территории автосборочного завода, но в настоящее время полностью передано сторонним поставщикам поэтому расчет статьи затрат «Сырье и материалы» не требуется.

«Затраты на покупные изделия:»[12]

$$\Pi u = \underline{U}_i \cdot n_i \cdot \left(1 + \frac{K_{T3}}{100}\right), \tag{5.1}$$

где «Ці – оптовая цена покупных комплектующих изделий і-го вида, руб. ni – количество покупных изделий і-го вида, шт.

 K_{T3} — коэффициент транспортно-заготовительных расходов.» [12]

Расчет затрат на покупные изделия представлен в таблице 5.1.

Таблица 5.1 - Расчет расход на покупные комплектующие изделия (проект)

Наименование покупных изделий	Количество	Средняя цена за единицу, руб.	Сумма, руб.
Стойка с тормозом в сборе	2	3600	7200
Рычаг в сборе	2	720	1440
Стабилизатор в сборе	1	715	715
Крепеж	46	3	138
ИТОГО:			9493
Транспортно-		3%	284.79
заготовительные расходы			
Всего:			9777.79

«Основная заработная плата производственного персонала:»[12]

$$3o = 3m \cdot \left(1 + \frac{K_{\Pi PEM}}{100}\right),$$
 (5.2)

где «3m — тарифная заработная плата рабочего в рублях.»[12]

$$3m = Cp_i \cdot T_i \tag{5.3}$$

где « Cp_i – часовая тарифная ставка, руб.;»[12]

« T_i — трудоемкость выполнения операции, час;»[12]

 $«K_{\it ПРЕМ}$ — коэффициент премий и доплат, связанных с работой на производстве, %»[12]

Расчет основной заработной платы производственного персонала представлен в таблице 5.2.

Таблица 5.2 – Расчет основной заработной платы производственного персонала

Виды работ	Разряд работы	Трудоемкость	Часовая тарифная ставка, руб.	«Тарифная зарплата, руб.» [15]
Сборочные	4	0.25	85	21.25
Контрольные	5	0.03	90	2.7
ИТОГО:				23.95
Премия	25%			5.99
Основная з/п				29.94

«Дополнительная заработная плата производственного персонала:»[12]

$$3_{\text{ЛОП}} = 3o \cdot K_{\text{ВЫП}}; \tag{5.4}$$

где « $K_{\text{вып}}$ — коэффициент доплат и выплат не связанных с выполнением основных производственных работ, %»[12]

$$K_{\rm BM\Pi} = 20\%$$

$$3_{\text{ДОП.}} = 29.94 \cdot 0.2 = 5.99$$

«Отчисления в страховые взносы:» [12]

$$C_{C.B} = \{o + 3_{\text{ДОП.}}\} E_{C.B};$$
 (5.5)

где « $E_{\text{с.в}}$ — коэффициент отчислений в страховые взносы, %»[12]

$$E_{\rm CB} = 30\%$$

$$C_{C.B} = (9.94 + 5.99) \cdot 0.3 = 10.78 \, py \delta$$

Затраты на содержание и эксплуатацию оборудования:

$$C_{\text{COJIOBOP}} = 3o \cdot E_{\text{OBOP}} \tag{5.6}$$

где « $E_{\text{ОБОР}}$ — коэффициент отчислений в единый социальный фонд, %»[12] $E_{\text{ОБОР}} = 165\,\%$

$$C_{\text{COЛOБОР}} = 29.94 \cdot 1.65 = 49.4 \, py 6$$

Цеховые расходы:

$$C_{\text{HEX}} = 3o \cdot E_{\text{HEX}}, \tag{5.7}$$

где « $E_{\text{цех}}$ – коэффициент цеховых расходов, %»[12]

$$E_{\rm IIEX} = 175\%$$

$$C_{IIEX} = 29.94 \cdot 1.75 = 52.39 \, py 6$$

Расходы на инструмент и оснастку:

$$C_{\text{инстр}} = 3o \cdot E_{\text{инстр}},\tag{5.8}$$

где $E_{\text{инстр}}$ – коэффициент затрат на инструмент и оснастку, %

$$E_{\text{IJEX}} = 3\%$$

$$C_{\text{WHCTP}} = 29.94 \cdot 0.03 = 0.9 \, py \delta$$

Цеховая себестоимость модернизированного узла:

$$C_{\text{HEXC/C}} = \Pi u + 3o + 3_{\text{JOH}} + C_{C,B} + C_{COJ,O5OP} + C_{HEX} + C_{HHCTP}$$
(5.9)

$$C_{\text{HEXC/C}} = 9477.79 + 29.94 + 5.99 + 10.78 + 49.4 + 52.39 + 0.9 = 9627.18 \text{ py6}$$

Общезаводские расходы:

$$C_{\text{OF3ABOJI}} = 3o \cdot E_{\text{OF3ABOJI}}; \tag{5.10}$$

где « $E_{\text{ОБ.3ABOД}}$ — коэффициент общезаводских расходов, %»[12]

$$E_{\text{ОБ.ЗАВОЛ}} = 125\%$$

$$C_{OB3ABOJ} = 29.94 \cdot 1.25 = 37.42$$
руб

«Общезаводская себестоимость:»[12]

$$C_{\text{ОБ.ЗАВОД.CC}} = C_{\text{ОБ.ЗАВОД}} + C_{\text{ЦЕХ.С/C}}$$
 (5.11)

$$C_{OF3ABOJICC} = 37.42 + 9627.18 = 9664.6 py 6$$

«Коммерческие расходы:»[12]

$$C_{\text{ком}} = C_{\text{ОБ:ЗАВОД:CC}} \cdot E_{\text{ком}};$$
 (5.12)

где $E_{\text{ком}}$ – коэффициент коммерческих расходов, %

$$E_{\text{KOM}} = 5\%$$

$$C_{\text{KOM}} = 9664.6 \cdot 0.05 = 483.23 \, py \delta$$

Полная себестоимость модернизируемой передней подвески:

$$C_{\text{пол}} = C_{\text{об.3ABOД.CC}} + C_{\text{ком}}$$
 (5.13)

 $C_{\text{пол}} = 9664.6 + 483.23 = 10147.83 \ py6$

Отпускные цены для базового и проектируемой конструкции подвески:

$$\coprod_{\text{OTIL}} = C_{\text{ПОЛ}} \cdot \mathbf{\P} + K_{\text{PEHT}}$$
 (5.14)

где $K_{\text{\tiny PEHT}}$ – коэффициент рентабельности и плановых накоплений, %

$$K_{\text{PEHT}} = 20\%$$

$$\coprod_{OIII.B} = 10116.55 \cdot (+0.2) = 12139.86 py6$$

 $\coprod_{OTII.II} = \coprod_{OTII.II}$

5.2 Точки безубыточности производства подвески

Под точкой безубыточности понимают объём продаж, для которого все затраты будут покрываться доходами, а при реализации каждой дополнительной единицы продукции завод-изготовитель будет получать прибыль.

Необходимую величину продаж для обеспечения безубыточности проекта можно вычислить по формуле:

$$V_{\rm KP} = \frac{3_{\Pi O CT, VJI} \cdot V_{MAX}}{\coprod_{O TII} - 3_{\Pi E P VJI}},\tag{5.15}$$

где $V_{\scriptscriptstyle MAX}$ – максимальный объем выпуска изделия, шт

 $\mathbf{U}_{\text{отп}}$ – отпускная цена изделия, руб

« $3_{\text{перуд}}$ – удельные постоянные издержки на изделие, руб»[12]

« $3_{\text{перуд}}$ – удельные переменные издержки на изделие, руб»[12]

Переменные затраты на изготовление единицы подвески:

$$3_{{\it \Pi}{\it EPEM}.{\it VJ}{\it I}.6.} = \varPi u + 3_{\it O} + 3_{{\it J}{\it O}{\it \Pi}.} + C_{\it C.B} = 9448 + 29.94 + 5.99 + 10.78 = 9494.7~py f$$

$$3_{\mathit{\Pi EPEM.VJ.n.}} = \varPi u + 3_{\mathit{O}} + 3_{\varOmega\mathit{O}\mathit{\Pi.}} + C_{\mathit{C.B}} = 9477.79 + 29.94 + 5.99 + 10.78 = 9524.49\,\mathit{py6}$$

Переменные издержки:

$$3_{\Pi E P E M.H.} = 3_{\Pi E P E M.V \mathcal{I}} \cdot V_{\Gamma O \mathcal{I}} \tag{5.16}$$

 $3_{\text{ПЕРЕМн.6}} = 9494.7 \cdot 150000 = 1424205375 \ py6$

$$3_{\Pi EPEM_{H,n}} = 9524.49 \cdot 150000 = 1428673875 \ py6$$

Амортизационные отчисления:

$$A_{M.VJJ} = (C_{COJJ.OBOP} + C_{UHCTP}) \cdot H_A / 100,$$
 (5.17)

где $H_{\scriptscriptstyle A}$ - доля амортизационных отчислений, 15%

$$A_{M.VJ} = (49.4 + 0.9) \cdot 15/100 = 7.54 \, py \sigma$$

Постоянные издержек:

$$3_{\Pi O C T. V J J. \delta, n.} = (C_{CO J. O E O P} + C_{U H C T P}) \cdot (100 - H_A) / 100 + C_{IJEX} + C_{O E. 3 A B O J J} + C_{KOM} + A_{M. V J J}$$

$$(5.18)$$

$$3_{\Pi OCT. VII.6.} = (49.4 + 0.9) \cdot (100 - 15) / 100 + 52.39 + 37.42 + 481.74 + 7.54 = 621.85 py6$$

 $3_{HOCT.VJJ.H.} = (49.4 + 0.9) \cdot (100 - 15) / 100 + 52.39 + 37.42 + 483.23 + 7.54 = 623.34 py 6$

Постоянные издержки на годовую программу производства:

$$3_{\Pi O C T, \delta_{-}} = 3_{\Pi O C T, V I I, \delta_{-}} \cdot V_{\Gamma O I} \tag{5.19}$$

 $3_{HOCT.6.} = 621.85 \cdot 150000 = 93277200 \ py6$

$$3_{\Pi OCT\Pi} = 623.34 \cdot 150000 = 93500625 \ py 6$$

Полная себестоимость годовой программы выпуска:

$$C_{\Pi O \Pi \Gamma} = C_{\Pi O \Pi H} \cdot V_{\Gamma O \Pi} \tag{5.20}$$

 $C_{\Pi O \Pi \Gamma} = 10116.55 \cdot 150000 = 1511694450 \ py 6$

 $C_{\Pi O \Pi \Pi} = 10147.83 \cdot 150000 = 1522174500$ py6

«Выручку от реализации изделия:»[12]

Выручка.н. =
$$U_{OTII.H.} \cdot V_{IOII}$$
 (5.21)

Выручка.н. = $12139.86 \cdot 150000 = 1820979090$ руб

Маржинальный доход:

$$\mathcal{L}_{MAPЖ} = Выручка - 3_{ПЕРЕМ} H$$
(5.22)

 $A_{MAPK} = 1820979090 - 1424205375 = 396773715 py 6$

$$A_{MAPX} = 1820979090 - 1428673875 = 392305215 py 6$$

Критический объем продаж для проектируемой передней подвески:

$$A_{\mathit{KPHT}} = \frac{3_{\mathit{HOCT.n.}}}{II_{\mathit{OTH}}} - 3_{\mathit{HEPEM}}.H = \frac{93500625}{12139.86} - 9524.49 = 35750.46 \, um \approx 35750 \, um$$

Также значение критического объема продаж можно определить графическим методом:

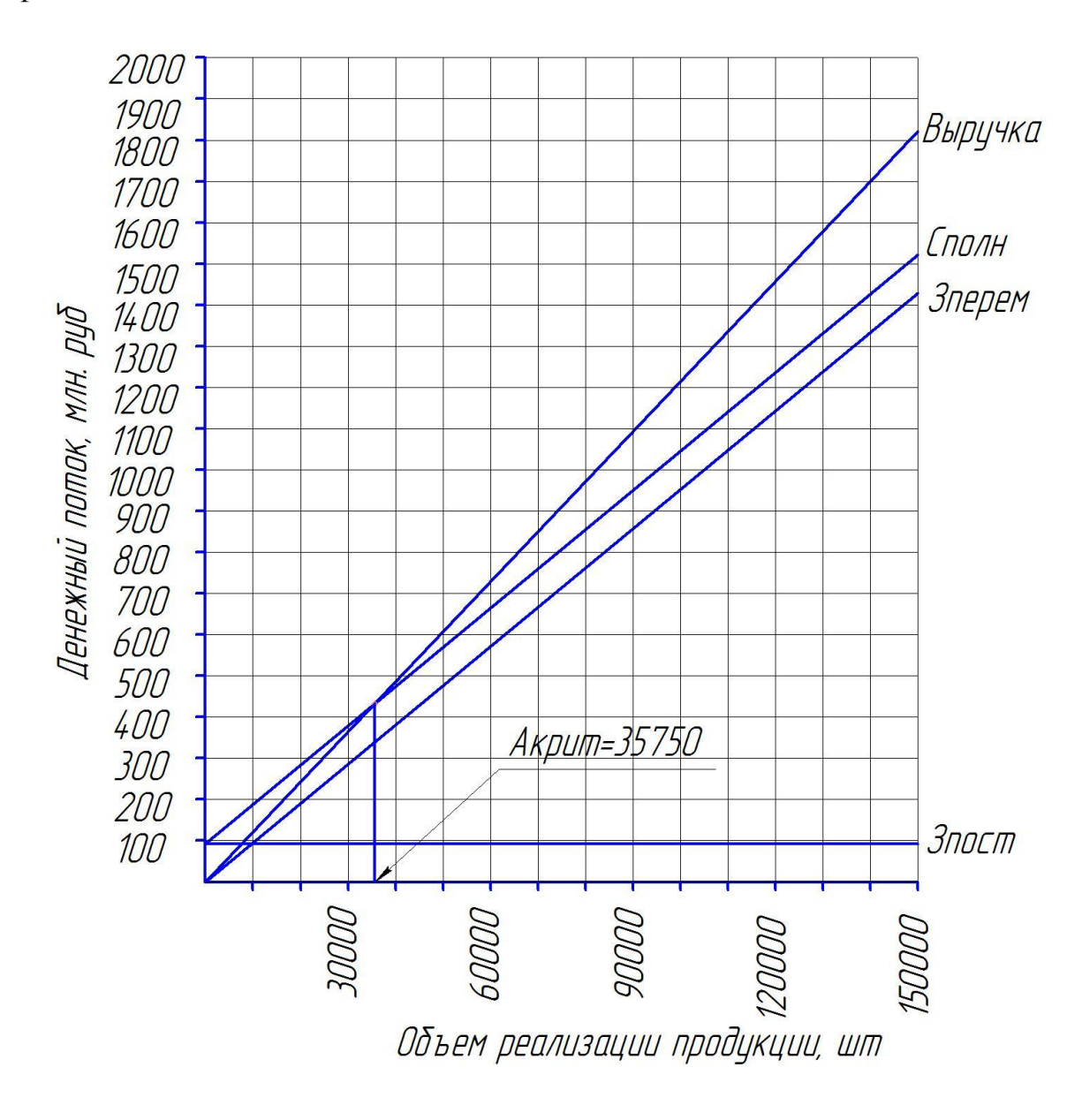


Рисунок 12 – Графический метод определения точки безубыточности

5.3 Коммерческая эффективность модернизации подвески

Для оценки коммерческой эффективности модернизации передней подвески следует определить чистый доход, чистый дисконтированный

доход, внутреннюю норму доходности, индексы доходности и срок окупаемости.

Увеличение производственных мощностей происходит постепенно. В данной работе увеличение объема производства будем считать равномерным, т.е. с постоянной величиной. Чтобы рассчитать эту величину воспользуемся формулой:

$$\Delta = \frac{V_{MAX} - A_{KPHT}}{n - 1},\tag{5.23}$$

где « V_{MAX} - максимальный объем производства изделия, шт»[12]

« A_{KPUT} - критический объем продаж проектируемой подвески, шт»[12]

п - количество лет производства, с учетом подготовки

$$\Delta = \frac{150000 - 35750}{6 - 1} = 22850 \ um$$

Для расчета выручки от продаж в каждом году используем формулу:

$$\mathbf{B}_{i} = \mathbf{\coprod}_{\text{ОТП}} \cdot V_{\text{ПРОД}i}; \tag{5.24}$$

где $V_{\Pi P O extsf{J} i}$ - объем продаж в i-году.

В первый год производства объем продукции будет рассчитываться следующим образом:

$$V_{\Pi P O \mathcal{I} i} = V_{KP} + \Delta \tag{5.25}$$

Для второго года и последующих лет $V_{\rm KP}$ заменяется объемом продаж предыдущего года.

$$\begin{split} V_{\Pi \text{PO} \text{Д}1} &= 35750 \, + 22850 \, = 58600 \ \textit{um}. \\ V_{\Pi \text{PO} \text{Д}2} &= 58600 \, + 22850 \, = 81450 \ \textit{um}. \\ V_{\Pi \text{PO} \text{Д}3} &= 81450 \, + 22850 \, = 104300 \ \textit{um}. \\ V_{\Pi \text{PO} \text{Д}4} &= 104300 \, + 22850 \, = 127150 \ \textit{um}. \\ V_{\Pi \text{PO} \text{Д}5} &= 127150 \, + 22850 \, = 150000 \ \textit{um}. \end{split}$$

Зная объем производства проектируемого изделия, рассчитываем выручку:

$$B_1 = 12139.86 \cdot 58600 = 711395831.16 py 6$$
 $B_2 = 12139.86 \cdot 81450 = 988791645.87 py 6$
 $B_3 = 12139.86 \cdot 104300 = 1266187460.58 py 6$
 $B_4 = 12139.86 \cdot 127150 = 1543583275.29 py 6$
 $B_5 = 12139.86 \cdot 150000 = 1820979090 py 6$

Переменные затраты по годам:

$$3_{\Pi E P E M i} = 3_{\Pi E P E M V \mathcal{I}} \cdot V_{\Pi P O \mathcal{I} i} \tag{5.26}$$

$$egin{align*} &3_{\Pi E P E M E 1} = 9494.7 \cdot 58600 = 556389566 \ .5 \ py6 \ &3_{\Pi E P E M E 2} = 9494.7 \cdot 81450 = 773343518 \ .63 \ py6 \ &3_{\Pi E P E M E 3} = 9494.7 \cdot 104300 = 990297470 \ .75 \ py6 \ &3_{\Pi E P E M E 4} = 9494.7 \cdot 127150 = 1207251422 \ .88 \ py6 \ &3_{\Pi E P E M E 5} = 9494.7 \cdot 150000 = 1424205375 \ py6 \ &3_{\Pi E P E M I I 1} = 9524.49 \cdot 58700 = 558135260 \ .5 \ py6 \ &3_{\Pi E P E M I I 1} = 9524.49 \cdot 81525 = 775769914 \ .13 \ py6 \ &3_{\Pi E P E M I I 3} = 9524.49 \cdot 104350 = 993404567 \ .75 \ py6 \ &3_{\Pi E P E M I I 1} = 9524.49 \cdot 127175 = 1211039221 \ .38 \ py6 \ &3_{\Pi E P E M I I 1} = 9524.49 \cdot 150000 = 1428673875 \ py6 \ &3_{\Pi E P E M I I 1} = 9524.49 \cdot 150000 = 1428673875 \ py6 \ &3_{\Pi E P E M I I 1} = 9524.49 \cdot 150000 = 1428673875 \ py6 \ &3_{\Pi E P E M I I 1} = 9524.49 \cdot 150000 = 1428673875 \ py6 \ &3_{\Pi E P E M I I 1} = 9524.49 \cdot 150000 = 1428673875 \ py6 \ &3_{\Pi E P E M I I 1} = 9524.49 \cdot 150000 = 1428673875 \ py6 \ &3_{\Pi E P E M I I 1} = 9524.49 \cdot 150000 = 1428673875 \ py6 \ &3_{\Pi E P E M I I 1} = 9524.49 \cdot 150000 = 1428673875 \ py6 \ &3_{\Pi E P E M I I 1} = 9524.49 \cdot 150000 = 1428673875 \ py6 \ &3_{\Pi E P E M I I 1} = 9524.49 \cdot 150000 = 1428673875 \ py6 \ &3_{\Pi E P E M I I 1} = 9524.49 \cdot 150000 = 1428673875 \ py6 \ &3_{\Pi E P E M I I 1} = 9524.49 \cdot 150000 = 1428673875 \ py6 \ &3_{\Pi E P E M I I 1} = 9524.49 \cdot 150000 = 1428673875 \ py6 \ &3_{\Pi E P E M I I 1} = 9524.49 \cdot 150000 = 1428673875 \ py6 \ &3_{\Pi E P E M I I 1} = 9524.49 \cdot 150000 = 1428673875 \ py6 \ &3_{\Pi E P E M I I 1} = 9524.49 \cdot 150000 = 1428673875 \ py6 \ &3_{\Pi E P E M I I 1} = 9524.49 \cdot 150000 = 1428673875 \ py6 \ &3_{\Pi E P E M I I 1} = 9524.49 \cdot 150000 = 1428673875 \ py6 \ &3_{\Pi E P E M I I 1} = 9524.49 \cdot 150000 = 1428673875 \ py6 \ &3_{\Pi E P E M I I 1} = 9524.49 \cdot 150000 = 1428673875 \ py6 \ &3_{\Pi E P E M I I 1} = 9524.49 \cdot 150000 = 1428673875 \ py6 \ &3_{\Pi E P E M I I 1} = 9524.49 \cdot 150000 = 1428673875 \ py6 \ &3_{\Pi E P E M I I 1} = 9524.49 \cdot 150000 = 1428673875 \ py6 \ &3_{\Pi E P E M I I 1} = 9524.49 \cdot 150000 = 1428673875 \ py$$

Постоянные затраты по годам:

$$3_{\Pi OCT} = 3_{\Pi OCT, YJ} \cdot V_{MAX} \tag{5.27}$$

 $3_{HOCT.6.} = 621.85 \cdot 150000 = 93277200 \ py6$

$$3_{HOCT.H.} = 623.34 \cdot 150000 = 93500625 \ py6$$

Амортизация оборудования:

$$A_{M} = A_{M.VJ} \cdot V_{MAX} \tag{5.28}$$

 $A_M = 7.54 \cdot 150000 = 1131637.5 py 6$

Себестоимость по годам:

$$C_{\Pi O \Pi} i = 3_{\Pi E P E M i} + 3_{\Pi O C T} \tag{5.29}$$

$$C_{HOJLB1} = 556389566 .5 + 93277200 = 649666766 .5 py6$$
 $C_{HOJLB2} = 773343518 .63 + 93277200 = 866620718 .63 py6$
 $C_{HOJLB3} = 990297470 .75 + 93277200 = 1083574670 .75 py6$
 $C_{HOJLB4} = 1207251422 .88 + 93277200 = 1300528622 .88 py6$
 $C_{HOJLB5} = 1424205375 + 93277200 = 1517482575 py6$
 $C_{HOJLB5} = 558135260 .5 + 93500625 = 651635885 .5 py6$
 $C_{HOJLB2} = 775769914 .13 + 93500625 = 869270539 .13 py6$
 $C_{HOJLB3} = 993404567 .75 + 93500625 = 1086905192 .75 py6$
 $C_{HOJLB4} = 1211039221 .38 + 93500625 = 1304539846 .38 py6$
 $C_{HOJLB4} = 1428673875 + 93500625 = 1522174500 py6$

$$\sum C_{HOJLB5} = 651635885 .5 + 869270539 .13 + 1086905192 .75 + 1304539846 .38 + 1522174500 = 5434525963 .76 py6$$

Налогооблагаемая прибыль по годам:

$$\Pi p_{OEII.i} = B_i - C_{\Pi OII.i}$$
(5.30)

 $\Pi p_{OEJI.1} = 711395831 \ .16 - 649666766 \ .5 = 61729064 \ .66 \ py6$ $\Pi p_{OEJI.2} = 988791645 \ .87 - 866620718 \ .63 = 122170927 \ .24 \ py6$ $\Pi p_{OEJI.3} = 1266187460 \ .58 - 1083574670 \ .75 = 182612789 \ .83 \ py6$ $\Pi p_{OEJI.4} = 1543583275 \ .29 - 1300528622 \ .88 = 243054652 \ .41 \ py6$ $\Pi p_{OEJI.5} = 1820979090 \ - 1517482575 \ = 303496515 \ py6$ $\Pi p_{OEJI.1} = 711395831 \ .16 - 651635885 \ .5 = 59759945 \ .66 \ py6$ $\Pi p_{OEJI.2} = 988791645 \ .87 - 869270539 \ .13 = 119521106 \ .74 \ py6$ $\Pi p_{OEJI.3} = 1266187460 \ .58 - 1086905192 \ .75 = 179282267 \ .83 \ py6$ $\Pi p_{OEJI.4} = 1543583275 \ .29 - 1304539846 \ .38 = 239043428 \ .91 \ py6$ $\Pi p_{OEJI.5} = 1820979090 \ - 1522174500 \ = 298804590 \ py6$

Величина налога на прибыль составляет 20%. Его абсолютное значение рассчитывается от налогооблагаемой прибыли по годам:

$$H_{\Pi Pi} = \Pi p_{OEII.i} \cdot 0.2 \tag{5.31}$$

$$H_{\Pi P.1} = 61729064 .66 \cdot 0.2 = 12345812 .93 py 6$$
 $H_{\Pi P.2} = 122170927 .24 \cdot 0.2 = 24434185 .45 py 6$
 $H_{\Pi P.3} = 182612789 .83 \cdot 0.2 = 36522557 .97 py 6$
 $H_{\Pi P.4} = 243054652 .41 \cdot 0.2 = 48610930 .48 py 6$
 $H_{\Pi P.5} = 303496515 \cdot 0.2 = 60699303 py 6$
 $H_{\Pi P.1} = 59759945 .66 \cdot 0.2 = 11951989 .13 py 6$
 $H_{\Pi P.2} = 119521106 .74 \cdot 0.2 = 23904221 .35 py 6$
 $H_{\Pi P.3} = 179282267 .83 \cdot 0.2 = 35856453 .57 py 6$.
 $H_{\Pi P.4} = 239043428 .91 \cdot 0.2 = 47808685 .78 py 6$
 $H_{\Pi P.5} = 298804590 \cdot 0.2 = 59760918 py 6$

Чистая прибыль по годам:

$$\begin{split} \Pi p_{_{^{\prime\prime},1E}} &= 61729064\ .66 - 12345812\ .93 = 49383251\ .73\ py6 \\ \Pi p_{_{^{\prime\prime},2E}} &= 122170927\ .24 - 24434185\ .45 = 97736741\ .8\ py6 \\ \Pi p_{_{^{\prime\prime},3E}} &= 182612789\ .83 - 36522557\ .97 = 146090231\ .86\ py6 \\ \Pi p_{_{^{\prime\prime},4E}} &= 243054652\ .41 - 48610930\ .48 = 194443721\ .93\ py6 \\ \Pi p_{_{^{\prime\prime},5E}} &= 303496515\ - 60699303\ = 242797212\ py6 \\ \Pi p_{_{^{\prime\prime},1H}} &= 59759945\ .66 - 11951989\ .13 = 47807956\ .53\ py6 \\ \Pi p_{_{^{\prime\prime},2H}} &= 119521106\ .74 - 23904221\ .35 = 95616885\ .4\ py6 \\ \Pi p_{_{^{\prime\prime},3H}} &= 179282267\ .83 - 35856453\ .57 = 143425814\ .26\ py6 \\ \Pi p_{_{^{\prime\prime},4H}} &= 239043428\ .91 - 47808685\ .78 = 191234743\ .13\ py6 \end{split}$$

 $\Pi p.ч.i. = \Pi p.oбл.i. - Hnp.i.$

(5.32)

5.4 Экономический эффект от повышения надежности и долговечности деталей проектирумой подвески

 $\Pi p_{y_{5H}} = 298804590 - 59760918 = 239043672 \ py \delta$

Предлагаемые в данной квалификационной работе решение обеспечивают увеличение жесткости демпфера передней подвески. Таким образом достигается снижение количества пробоев подвески в движении и увеличение долговечности амортизатора.

Найдем прибыль, обеспечивающуюся улучшением долговечности демпфирующего элемента, используя выражение:

$$\Pi p_{O\mathcal{K},\mathcal{H}i} = \left(\mathcal{U}_{OT\Pi} \cdot \mathcal{A}_{2} / \mathcal{I}_{1} - \mathcal{U}_{OT\Pi} \right) \cdot V_{\Gamma}$$
(5.33)

где «Д1 и Д2 - долговечность (срок службы) базового и проектируемого изделия»[12]

$$II_1 = 950000; II_2 = 1200000$$

Отпускная цена стойки передней подвески $U_{OTII} = 1750 \ py \delta$

$$\begin{split} & \Pi p_{O\mathcal{K},\mathcal{H}1} = \P750 \cdot 1200000 \Big/950000 - 1750 \cdot 58600 = 26986842 \cdot .11 py6 \\ & \Pi p_{O\mathcal{K},\mathcal{H}2} = \P750 \cdot 1200000 \Big/950000 - 1750 \cdot 81450 = 37509868 \cdot .42 py6 \\ & \Pi p_{O\mathcal{K},\mathcal{H}3} = \P750 \cdot 1200000 \Big/950000 - 1750 \cdot 104300 = 48032894 \cdot .74 py6 \\ & \Pi p_{O\mathcal{K},\mathcal{H}4} = \P750 \cdot 1200000 \Big/950000 - 1750 \cdot 127150 = 58555921 \cdot .05 py6 \\ & \Pi p_{O\mathcal{K},\mathcal{H}5} = \P750 \cdot 1200000 \Big/950000 - 1750 \cdot 150000 = 69078947 \cdot .37 py6 \end{split}$$

Ожидаемая прибыль от повышения надежности узла:

где « $H_{\text{рем.баз}}$ и $H_{\text{рем.пр}}$ - количество ремонтов (отказов) базового и проектируемого изделий;»[2]

 $«3_{\text{рем.баз}}$ и $3_{\text{рем.пр.}}$ - затраты на ремонт базового и проектируемого изделий;»[12]

 ${}^{<\!\!<} T_{\rm прост.баз}$ и $T_{\rm прост.пр}$ - количество часов простоя техники в ремонте за год по базовому и проетируемому вариантам»[12]

$$\Pi p_{OK.H} = 60.1300 - 40.1300 + 0.70 - 1750 = 61000 \ py6$$

Общественно-значимая экономия:

$$\mathcal{G}_{O\!S\!L\!U,i} = \Pi p_{O\!K,\Pi,i} + \Pi p_{O\!K,H,i} \tag{5.35}$$

$$\mathcal{G}_{OBIII.1} = 26986842 .11 + 61000 = 27047842 .11 руб$$
 $\mathcal{G}_{OBIII.2} = 37509868 .42 + 61000 = 37570868 .42 руб$
 $\mathcal{G}_{OBIII.3} = 48032894 .74 + 61000 = 48093894 .74 руб$
 $\mathcal{G}_{OBIII.4} = 58555921 .05 + 61000 = 58616291 .05 руб$
 $\mathcal{G}_{OBIII.5} = 69078947 .37 + 61000 = 69139947 .37 руб$

Текущий чистый доход:

= 36582649 .52 py 6

$$4/\Pi i = \Pi p.ч.i.n. - \Pi p.ч.i.б. + A_M + Эобиц$$
 (5.36)

 $4\mathcal{I}_{1} = 47807956.53 - 49383251.73 + 1131637.5 + 27047842.11 = 26604184.41$ $py \delta$ $4\mathcal{I}_{2} = 95616885.4 - 97736741.8 + 1131637.5 + 37570868.42 = 47807956$

 $4 II_3 = 143425814 .26 - 146090231 .86 + 1131637 .5 + 48093894 .74 = 46561114 .64 py 6$

 $4 \cancel{\coprod}_4 = 191234743 \ .13 - 194443721 \ .93 + 1131637 \ .5 + 58616291 \ .05 = 56539579 \ .75 \ py 6$

 $4 \text{ \mathcal{I}_{5}} = 239043672 - 242797212 + 1131637 .5 + 69139947 .37 = 66518044 .87 <math>py \delta$

Определяем значения коэффициента дисконтирования α_i :

$$E_{\rm CT} = 10\%$$

$$\alpha_{i} = 1 \setminus (1 + E)^{t}, \qquad (5.37)$$

 $\alpha_1 = 0.909$

 $\alpha_2 = 0.826$

 $\alpha_3 = 0,753$

 $\alpha_4 = 0,683$

 $\alpha_5 = 0.621$

«Текущий чистый дисконтированный доход:»[12]

$$\Psi \mathcal{I} \mathcal{I}(i) = \Psi \mathcal{I}(i) \cdot \alpha_i \tag{5.38}$$

ЧДД **(** =26604184.41 · 0,909=24183203.63 руб

ЧДД **♦** =36582649.52 · 0,826=30217268.5 руб

ЧДД **६** =46561114.64 · 0,753=35060519.32 руб

ЧДД **♦** =56539579.75 · 0,683=38616532.97 руб ЧДД **६** =66518044.87 · 0,621=41307705.86 руб

Рассчитываем суммарный ЧДД:

$$\sum 4 / I/I/I(i) = 169385230$$
 .29 руб

Капиталообразующие инвестиции:

$$J_O = K_{uhg} \cdot \sum C_{\Pi \text{OJLi}}; \qquad (5.39)$$

где $K_{{\scriptscriptstyle \it UHB}}$ - «коэффициент капиталообразующих инвестиций.» [14]

 $K_{uhe} = 1.1\%$.

$$J_o = 0.011 \cdot \sum C_{\text{пол.i}} = 76083363.49 \, py 6$$

«Чистый дисконтированный доход:»[4]

$$\mathcal{Y} \mathcal{I} \mathcal{I} = \sum_{i=0}^{T} \mathcal{Y} \mathcal{I} \mathcal{I} - J_o$$
(5.40)

4//// = 169385230 .29 – 76083363 .49 = 93301866 .8 руб

Индекса доходности инвестиций:

$$JD = \frac{4 \cancel{\square} \cancel{\square}}{J} \; ; \tag{5.41}$$

JD = 93301866 .8 / 76083363 .49 = 1.23

Срок окупаемости проекта:

$$T_{o_{KYN}} = \frac{J_o}{4JII} \tag{5.42}$$

 $T_{okyn.} = 76083363 .49 / 93301866 .8 = 0,82 \ coda$

На основании полученных данных построим график зависимости прибыли от объема продаж.

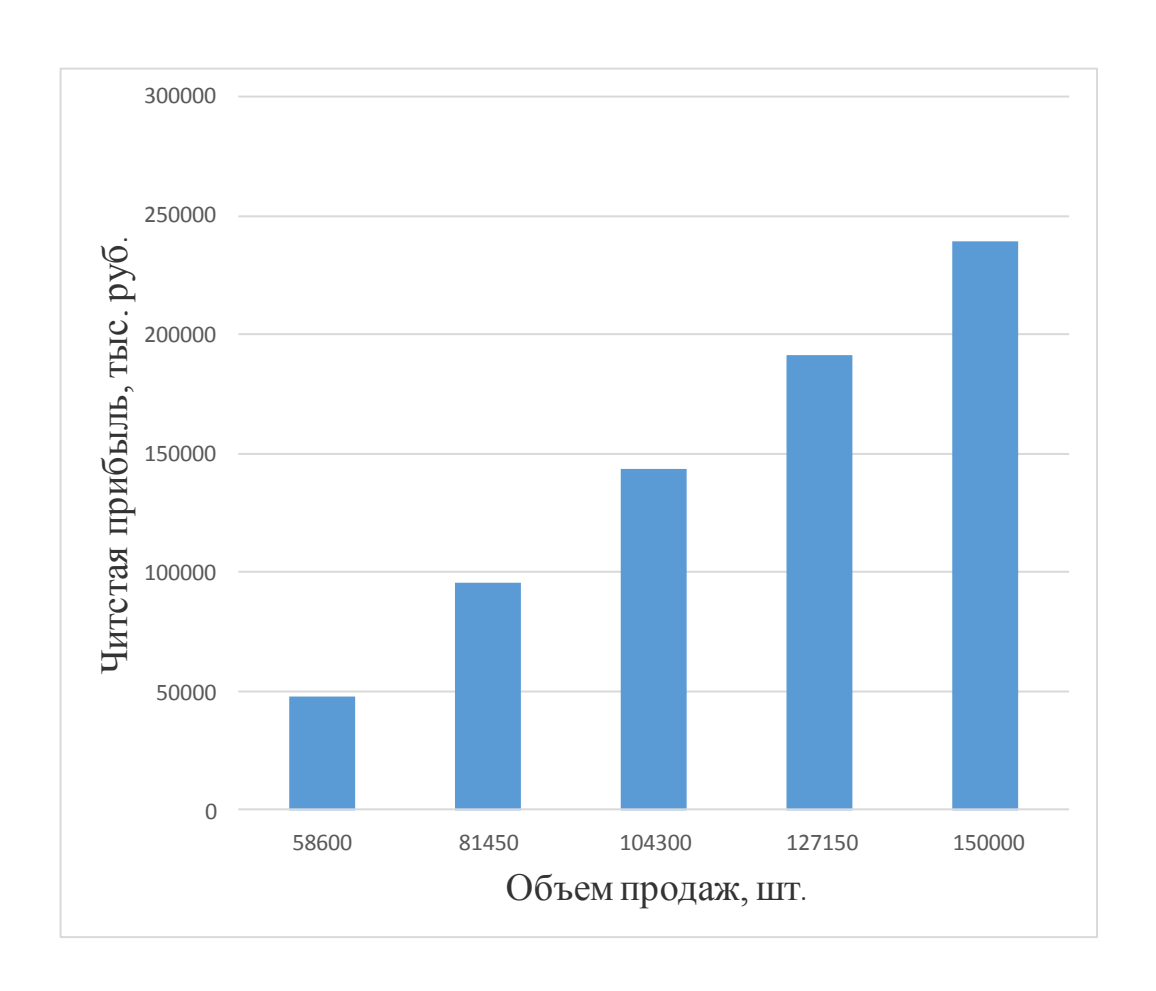


Рисунок 13 – График зависимости прибыли от объема продаж

5.5 Вывод

Проведя анализ данных ОНЖОМ полученных В данной части квалификационной работы сделать коммерческой ОНЖОМ вывод 0 эффективности разработанной модернизации передней подвески.

В новой конструкции подвески цена комплектующих изделий выше чем в базовом, но при этом данные узлы имеют лучшую надежность и долговечность.

Потребность в капиталообразующих инвестициях составляет 76083363.49 руб.

Величина чистого дисконтированного дохода положительна и равна 93301866.8 руб. Полученное в результате расчетов значение чистого дисконтированного дохода подтверждает коммерческую эффективность данной модернизации.

Коммерческую эффективность также доказывает и положительная величина индекса доходности равная 1.23.

Срок окупаемости проекта составляет 0.82 года, что определяет его как проект с невысоко степенью риска.

6 Безопасность и экологичность технического объекта

- 6.1 Конструктивно-технологическая и организационно-техническая характеристика рассматриваемого технического объекта
- 6.1.1 Анализ влияния модернизации передней подвески на параметры устойчивости, управляемости и плавности хода автомобиля

Управляемость, устойчивость и плавность хода транспортного средства общий оказывают значительное влияние на уровень его активной безопасности. Величины этих характеристик в свою очередь определяются в основном конструкцией шасси автомобиля. По мере развития автомобильной индустрии транспортные средства становятся все безопаснее, а их ездовые характеристики постоянно улучшаются. Однако, добиться идеального баланса данных характеристик не представляется возможным, т.к., например, значительно увеличив плавность хода автомобиля можно потерять в его наоборот. Поэтому настройка шасси управляемости и современных автомобилей происходит cучетом предполагаемых условий использования. Для легковых автомобилей в настоящее время существует тенденция постепенного увеличения управляемости и курсовой устойчивости за счет ужесточения характеристик упругих и демпфирующих элементов подвески.

Принимая во внимание, данное положение дел в отрасли модернизация передней подвески, предлагаемая в данной работе призвана улучшить управляемость и курсовую устойчивость автомобиля при движении по дорогам с хорошим покрытием. Достижение этого результата будет обеспечиваться с помощью подбора оптимальной характеристики амортизатора передней подвески.

6.1.2 Управляемость и устойчивость транспортного средства

Свойство транспортного средства изменять и сохранять направление движения при изменении положения рулевого колеса принято называть управляемостью. А свойство транспортного средства совершать движение с

постоянным сцеплением колес дорожным \mathbf{c} полотном называют устойчивостью. Государственные требования, устанавливаемые для этих автомобиля ездовых свойств изложены В техническом регламенте **((O)** таможенного союза безопасности транспортных средств». При прохождении сертификационных испытаний для транспортного средства регламентируется усилие на рулевом колесе, стабилизация движения, устойчивость во время проверки на рывок, управляемость и устойчивость в режимах поворот и переставка. На стоячем автомобиле значение усилия на руле должно быть не более 60 Н, в то время как при движении для транспортного средства оборудованного усилителем руля усилия должно быть не более 150 Н, а в случае выхода усилителя из строя не более 300 Н. Проверку поворота и переставки следует проводить при скоростях 72 и 83 км/ч соответственно.

Меры, рассмотренные в рамках предлагаемой модернизации подвески, приведут к улучшению параметров управляемости и устойчивости. Поэтому соответствие автомобиля техническому регламенту таможенного союза «О безопасности транспортных средств» обеспечивается.

6.1.3 Шум внутренний

Под шумом обычно понимают случайные колебания различной физической природы отличительной чертой которых является сложная временная и спектральная структура. Производители постоянно совершенствуют свои автомобили в части шумов, т.к. это является одним из важных потребительских свойств. Негативными проявлениями влияния шума на водителя и пассажиров являются повышенная утомляемость, снижение работоспособности и концентрации. Таким образом шум может привезти к возникновению аварийной ситуации.

Государственные требования, устанавливаемые для величин шума в автомобиле изложены в ГОСТ Р 51616-2000 «Автомобильные транспортные средства. Шум внутренний. Допустимые уровни и методы испытаний». «Нормированию подлежат следующие величины: уровень шума во время

разгона автомобиля; уровень шума во время движения с постоянной скоростью; уровень шума систем, обеспечивающих температурный режим и вентиляцию салона.»[7]

В рамках данного документа устанавливается уровень шума для грузовых автомобилей, использующихся для междугородных и международных сообщений по величине, не превышающей 80 дБА, для прочих грузовых и легковых транспортных средств не превышающем 78 дБА. При этом допустимая погрешность значение внутреннего шума может составлять до 2 дБА.

Технические решения, рассмотренные в рамках предлагаемой модернизации подвески, не могут изменить уровень внутреннего шума автомобиля и т.к. серийный автомобиль полностью сертифицирован, то и автомобиль с модернизированной подвеской будет соответствовать ГОСТ Р 51616-2000 «Автомобильные транспортные средства. Шум внутренний. Допустимые уровни и методы испытаний».

6.1.4 Плавность хода

Плавностью хода называют возможность движения транспортного средства по дорожному полотну различной степени качества с приемлемыми значениями колебаний кузова. Так же как и шум, толчки и вибрации неровностями способны существенно вызванные дороги физическую утомляемость водителя и пассажиров, влияют на целостность перевозимого багажа, и также на долговечность узлов и деталей автомобиля. Величина плавности хода может существенно различаться в зависимости от особенностей следующих конструктивных автомобиля таких как массогабаритные параметры, размерность шин, развесовка, упругость сидений и т.д.

Отраслевые требования, устанавливаемые для величины плавности хода автомобиля изложены в ОСТ 37.001.275 «Автотранспортные средства. Методы испытаний на плавность хода» и ОСТ 37.001.291 «Автотранспортные средства. Технические нормы плавности хода».

Технические решения, рассмотренные в рамках предлагаемой модернизации подвески, могут изменить плавность хода в худшую сторону, однако прогнозируется что автомобиль все же будет соответствовать вышеуказанным ОСТ.

6.1.5 Технологический паспорт передней подвески

Технологический паспорт модернизированной подвески, разработанный на основании технологического процесса, описанного в 3ем разделе данной работы, будет иметь следующий вид:

Таблица 6.1 - Технологический паспорт передней подвески

Технологичес	Технологиче	Наименовани	Оборудован	Материалы,
кий процесс	ская	е должности	ие,	вещества
	операция,	работника,	техническое	
	вид	выполняюще	устройство,	
	выполняемы	ГО	приспособле	
	х работ	технологичес	ние	
		кий процесс,		
		операцию		
2	3	4	5	6
Монтаж	Монтаж	Слесарь	Приспособл	Стойка
передней	стойки	механо-	ение для	передней
подвески	передней	сборочных	установки	подвески,
	подвески	работ, 1	стойки ПУ-	крепежные
		человек	17,	элементы
			пневмогайко	
			верт ПГ-	
			0343	

Продолжение таблицы 6.1

Монтаж	Монтаж	Слесарь	Пневмогайк	Стабилизат
передней	стабилизатор	механо-	оверт ПГ-	op
подвески	а передней	сборочных	0343	передней
	подвески	работ, 2		подвески,
		человека		крепежные
				элементы
Монтаж	Монтаж	Слесарь	Пневмогайк	Рычаг
передней	рычага	механо-	оверт ПГ-	передней
подвески	передней	сборочных	0343	подвески,
	подвески	работ, 1		крепежные
		человек		элементы

6.2 Идентификация профессиональных рисков

6.2.1 Описание рабочего места

Рабочим местом называют определенный участок пространства производственных площадей, закреплённый за работником или группой работников для выполнения служебных обязанностей. На рабочем месте могут располагаться инструмент, специальные приспособления, документация, а также контейнеры для временного хранения узлов и деталей. Рабочие места могут существенно отличаться друг от друга в зависимости от характера выполняемой операции и количества персонала, задействованного в данной работе.

Современные автомобили в подавляющем большинстве собираются на конвейере. В общем смысле под конвейером понимают транспортировочную машину, предназначенную для перемещения различных грузов. Для автосборочного предприятия таким грузом является кузов, который во время движения по конвейеру от одного рабочего места к другому постепенно доукомплектовывается входящими в его состав узлами и деталями. Участок конвейерной линии на котором происходит монтаж подвески оборудован

специфичными для данного вида работ инструментами и приспособлениями, и обладает геометрией, обеспечивающей оптимальный уровень удобство работников при выполнении ими своих профессиональных обязанностей. Монтаж подвески на транспортное средство не является финальной операцией, поэтому кузов продолжает свое движение по линии, где устанавливаются другие различные детали и узлы.

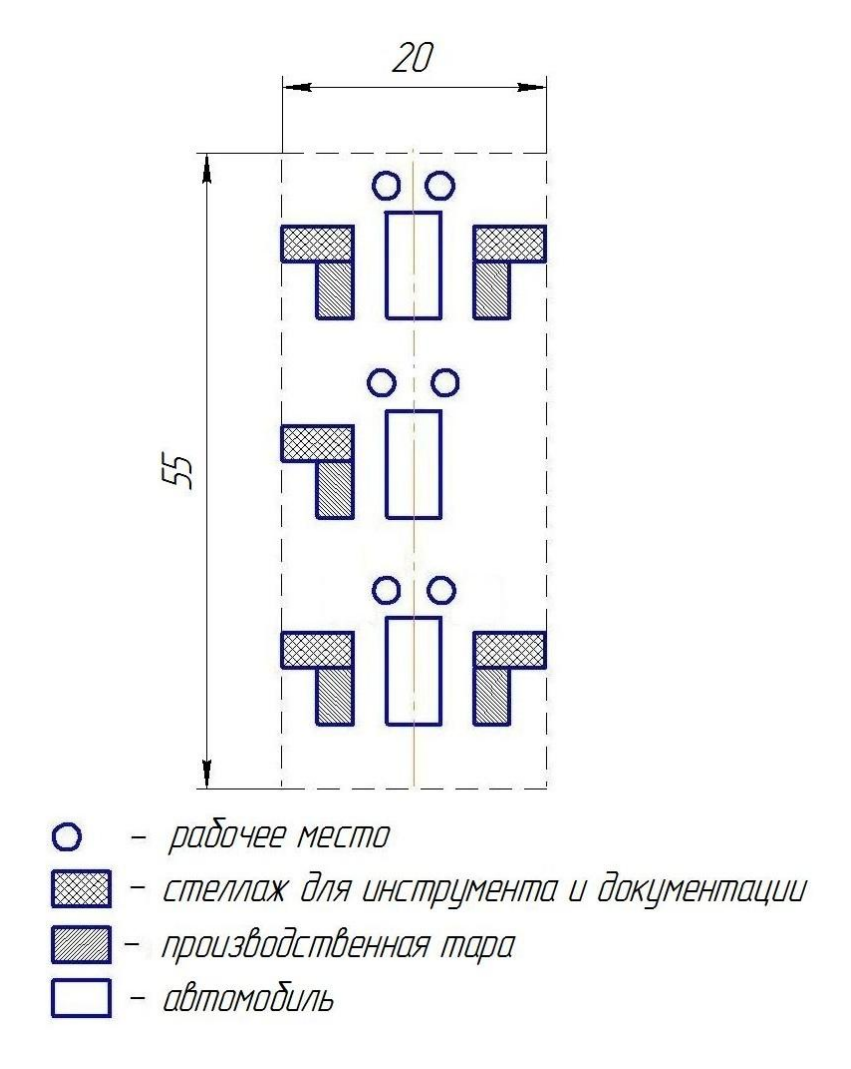


Рисунок 14 - Схема участка установки передней подвески

6.2.2 Идентификация профессиональных рисков на сборочном участке

Под производственными факторами понимают частные случаи факторов окружающей среды и деятельности, вызванные или связанные с трудовой деятельностью человека. Опасные производственные факторы являются причиной возникновения травм у персонала, а вредные могут быть причиной развитию у них профессиональных заболеваний.

Вредные и опасные производственные факторы классифицируются следующим образом:

- 1) Химические;
- 2) Физические;
- 3) Психофизиологические;
- 4) Биологические.

«Химические факторы также можно подразделять по следующим отличительным признакам: по характеру воздействия (токсические, раздражающие, мутагенные, канцерогенные и др.), способу проникновения в организм человека (через органы дыхания, через желудочно-кишечный тракт, через кожные покровы и слизистые оболочки).»[20]

Среди основных физических опасных и вредных производственных факторов выделяют электрический ток, шум и вибрации, опасные значения температуры веществ и окружающей среды.

«К психофизиологическим факторам относят физические и эмоциональные перегрузки, умственное перенапряжение, монотонность труда и др.»[4]

В качестве биологических опасных и вредных производственных факторов могут выступать различные микроорганизмы и продукты их жизнедеятельности.

На участке монтажа подвески работники с наибольшей вероятностью способны оказаться под воздействием физических опасных производственных факторов. Конкретно для данного участка такими факторами будут являться внутрицеховой транспорт, движущиеся детали конвейерной линии и приспособлений. Наиболее выраженным для данного участка вредным фактором будет являться шум, который возникает вследствие работы гайковертов и конвейерной линии. Также в подобных помещениях возможны отклонения от температурного режима.

6.3 Мероприятия по уменьшению профессиональных рисков

Существует множество решений, призванных снизить уровень травматизма в производстве, однако, самым эффективных из всех является своевременный инструктаж персонала по охране труда. Также для данного участка в части снижения травматизма будут эффективны следующие мероприятия:

- 1) Использование препятствий, определяющих зоны движения погрузчиков и персонала;
- 2) Обозначение зон движения персонала и транспорта специальной дорожной разметкой;
- 3) Использование специальных кожухов и заграждений для изоляции персонала от движущихся деталей станков и приспособлений.

Изучение влияния шумов на человеческий организм потребовалось в связи с увеличением механизации во всех сферах жизнедеятельности человека. Область науки, которая занимается данной проблематикой называется аудиологией. По результатам актуальных на сегодняшний день воздействие отчетов кратковременное ШУМОВ способно привезти увеличению утомляемости человека, а постоянное их воздействие приводит к снижению слуховой чувствительности. В случае значительного превышения величины шума слуховая чувствительность человека падает через 1-2 года, для шумов средней величины это время составляет от 5 до 10 лет. Среди других побочных эффектов, вызванных влиянием шума можно также выделить головокружение и головную боль.

Мероприятия, призванные уменьшить влияние шума на производственный персонал можно разделить на звукопоглощение, звукоизоляцию и организационно-технические меры.

Звукопоглощение может происходить за счет отдельных стационарных устройств, так и за счет нанесения специальных покрытий на поверхности деталей машин и механизмов. Для улучшения звукоизоляции возможно использовать различные конструкции барьеров, экранов или кожухов. К организационно-техническим мерам можно отнести использование

различных глушителей и резонаторов. Однако эффективнее всего бороться с шума можно на стадии проектирования оборудования и оснастки используя оптимальные технические схемы при проектировании оборудования. Применение оптимальных с точки зрения данной проблемы технических решений, например, замена прямозубых шестерней на косозубые, способно привезти к значительному снижению общего уровня шума.

Для уменьшения влияния шума на персонал также необходимо использовать индивидуальные средства защиты.

- 6.4 Пожарная безопасность сборочного участка
- 6.4.1 Идентификация опасных факторов пожара

Пожаром называют бесконтрольный процесс горения различных веществ, способный причинить физический, материальный или другой ущерб человеку. Существует множество критериев, по которым классифицируются пожары.

Согласно первой классификации пожары можно определить по внешним признакам горения. Таким образом, все пожары можно разделить на наружные, внутренние, одновременно внутренние и наружные, открытые и скрытые.

В основе следующей классификации лежит виду горючего материала. «Согласно данной классификации пожарам, вызванным горением твердых горючих веществ и конструкционных материалов присваивается класс A, вызванных воспламенением и горением жидкостей или плавящихся материалов — класс B, вызванных горением газа — класс C, горением металлов — D, вызванных горением электроустановок и объектов, находящихся под напряжением — E, и, наконец, вызванных горением радиоактивных веществ и отходов — F.»[18]

«К опасным факторам пожара относят открытое пламя и искры, чрезмерная величина теплового потока, значительное превышение нормальной температуры окружающей среды, увеличение концентрации токсичных продуктов горения и термического разложения в кислороде, а также его пониженная концентрация, задымление помещений и как следствие снижение видимости.»[12]

Среди сопутствующих опасных факторов пожара часто выделяют, такие как: обвал зданий, повреждение коммуникаций и производственного оборудования, формирование радиоактивных соединений и токсичных веществ; возникновение коротких замыкания электросети; негативное влияние средств пожаротушения на здоровье персонала и работоспособность производственного оборудования.

Приведём перечень классов и опасных факторов пожара для участка монтажа подвески в виде таблицы.

6.4.2 Разработка технических средств и организационных мероприятий по обеспечению пожарной безопасности

Самым популярным средством тушения возгораний принято считать огнетушитель. Однако работа его будет эффективной, только в том случае если использовать его в начале развития пожара. Местоположение огнетушителя в помещении должно быть строго определено. Он может располагаться либо на полу, либо на стене с помощью специального кронштейна.

Среди других способов пожаротушения можно также отметить оснащение производственного участка противопожарными устройствами, подключенными к водопроводной сети. Такие устройства могут работать в автоматическом режиме и не требует дополнительных действий от персонала или пожарных для их активации.

Среди организационных средств по обеспечению пожарной безопасности в производстве наиболее эффективными принято считать проведение обучения рабочих охране труда и внедрение тщательно подготовленного плана эвакуации персонала. Разделение потоков людей при выходе из горящего здания может существенно уменьшить количество жертв

и снижает общее время эвакуации, тем самым позволяя пожарным раньше начать ликвидировать возгорание.

6.5 Экологическая безопасность сборочного участка

«Экологией называют науку о взаимодействиях живых организмов и их сообществ между собой и с окружающей средой.»[19]

Ha производственном участке монтажа передней подвески транспортного средства отсутствует механическая обработка деталей, а производиться только их установка, тем самым исключается использование таких вредных веществ как СОЖ и опасность поражения рабочих движущимися частями режущего инструмента. Для транспортировки деталей участку применяют электропогрузчики, ПО только за счет чего обеспечивается отсутствие вредных веществ в воздухе.

Учитывая эти обстоятельства, можно с уверенностью утверждать, что участок монтажа подвески не оказывает негативного влияние на окружающую среду и здоровье рабочих. Таким образом в применение дополнительных мероприятий по уменьшению негативного влияния на окружающую среду нет необходимости.

6.6 Заключение

В данной части квалификационной работы приведена характеристика производственно-технологического процесса монтажа передней подвески транспортного средства 2ого класса, приведен легкового перечень технологических операций, а также должности и количество требуемого персонала. Доказано соответствие предлагаемой схемы государственным требованиям. В пункте 2 данной части дана классификация профессиональных характерных производственнорисков ДЛЯ технологического процесса, к опасным и вредным производственнотехнологическим факторам отнесены вероятность травмирования, высокий уровень шума и колебания температуры на производственном участке. В 3ем

пункте разработаны организационно-технические мероприятия, уменьшающие профессиональные риски, среди которых организация специальных заграждений и кожухов, нанесение дорожной разметки, применение СИЗ. В пункте 6 дана классификация классов и опасных факторов пожаров, технических средств и организационных мероприятий обеспечивающих пожарную безопасность на производственном участке. В пункте 5 была проведена экологическая экспертиза подтвердившая соответствие производственного участка экологическим нормам.

ЗАКЛЮЧЕНИЕ

Результатом данной квалификационной работы является готовый проект модернизации передней подвески легкового автомобиля 2ого класса. Предложенные технические решения позволяют улучшить управляемость и курсовую устойчивость без изменения компоновочной схемы и значительных инвестиций.

Данная работа содержит в себе:

- определение, назначение, классификация подвесок автомобилей и требования, предъявляемые к ее конструкции;
 - произведен анализ направлений развития конструкций подвесок;
- произведен выбор и обоснование проектируемого варианта конструкции передней подвески;
- выполнен расчет тягово-динамических характеристик транспортного средства;
 - произведен расчет упругой характеристики передней подвески;
- произведен расчет характеристик демпфирования колебаний кузова и неподрессоренных масс;
 - разработан технологический процесс монтажа подвески;
 - подтверждена экономическая эффективность модернизации;
- разработаны меры противопожарной безопасности и мероприятия по охране труда.

.

СПИСОК ИСПОЛЬЗУЕМЫХ ИСТОЧНИКОВ

- 1. Родионов, В.Ф. Легковые автомобили [Текст] /В.Ф. Родионов, Б.А. Фиттерман. М.: Машиностроение, 1973.-490 с.
- 2. Раймпель, Й. Шасси автомобиля [Текст] / Й. Раймпель. М.: Машиностроение, 1983.-356 с.
- 3. Валхламов, В.К. «Автомобили. Основы конструкции» [Текст] /В.К. Валхламов, Академия, 2008.-529с.
- 4. Васильев, Б.С. Автомобильный справочник [Текст] / Б.С. Васильев, М.С. Высоцкий, К.Л. Гаврилов– М.: Машиностроение, 2004.-704 с.
- 5. Анурьев, В.И. Справочник конструктора-машиностроителя. В 3-х т. Т.2. [Текст] М.: Машиностроение, 1978.-912 с.
- 6. Успенский, И.Н. Проектирование подвески автомобиля [Текст] М.: Машиностроение 1976-168с.
- 7. Лукин, П.П. Конструкция и расчет автомобиля: Учебник для студентов втузов, обучающихся по специальности «Автомобили и тракторы» [Текст] П.П. Лукин, Г.А. Гаспарянц, В.Ф. Родионов, М: Машиностроение, 1984. 376 с.
- 8. Лата, В.Н. Конструирование и расчет автомобиля. Ходовая часть и системы управления. [Текст] В.Н. Лата, Курс лекций.-125 с.
- 9. Лукин, П.П. Конструирование и расчёт автомобиля [Текст] Машиностроение 1984-373с.
- 10. Кисуленко, Б.В. Краткий автомобильный справочник. Т3. [Текст]/ Б.В. Кисуленко, Ю.В. Дементьев, И.А. Венгеров М.: Автополисплюс, 2005.-560 с.
- 11. Черепанов, Л.А. Расчет тяговой динамики и топливной экономичности автомобиля: учеб. пособие [Текст] /Л.А. Черепанов. Тольятти: ТГУ, 2001.-41 с.
- 12. Хрипач, В.Я. Экономика предприятия [Текст] / В.Я.Хрипач, А.С.Головачев, И.В.Головачева и др.; Под ред. В.Я.Хрипача; Академия

- управления при Президенте Республики Беларусь. Кафедра экономики и организации производства. Минск, 1997.- 448 с.
- 13. Сачко, Н.С. Организация, планирование и управление машиностроительным предприятием: Учеб. пособие для вузов [Текст] / Н.С. Сачко, И.М Бабук, В.И. Демидов и др.; Под ред. Н.С. Сачко, И.М. Бабука. Минск: Выш.шк., 1988.- 272 с.
- 14. Грузинов В.П. Экономика предприятия: Учеб. пос. для вузов. 2-е изд., доп. [Текст] / В.П. Грузинов, В.Д. Грибов М.: Финансы и статистика, 2002. 207 с.
- 15. Глущенко, В.Ф. Экономика предприятия. Часть 4. Организация производства. Учеб. пособие [Текст] / В.Ф. Глущенко, Г.А. Краюхин, А.И. Михайлушкин и др.: СПбГИЭУ. СПб: СПбГИЭУ, 2001. 101 с.
- 16. Ипатов, М.И. Организация и планирование машиностроительного производства: Учеб. для машиностр. спец. вузов [Текст] / М.И. Ипатов, М.К. Захарова, К.А. Грачев и др.; Под ред. М.И. Ипатова, В.И. Постникова и М.К. Захаровой.- М.: Высш.шк., 1988.-367 с.
- 17. Горина Л.Н. Раздел выпускной квалификационной работы «Безопасность и экологичность технического объекта». Учебнометодическое пособие [Текст] /Л.Н. Горина, М.И. Фесина Тольятти: ТГУ, 2016.-51с.
- 18. Челноков, А. А. Охрана труда: учебник [Электронный ресурс] / А. А. Челноков, И. Н. Жмыхов, В. Н. Цап; под общ. ред. А. А. Челнокова. 2-е изд., испр. и доп. Минск: Вышэйшая школа, 2013. 655 с
- 19. Челноков, А.А. Основы экологии: учебное пособие [Электронный ресурс] / А. А. Челноков, Л. Ф. Ющенко, И. Н. Жмыхов; под ред. А. А. Челнокова. Минск: Вышэйшая школа, 2012. 543 с.
- 20. Михнюк, Т.Ф. Охрана труда: учебное пособие [Текст] / Т. Ф. Михнюк. Минск: ИВЦ Минфина, 2007. 297 с.
- 21. Jim D.Dearholt Career Paths Mechanics [Text] / Jim D.Dearholt, Express Publishing, 2012. 261 c.

- 22. James E. Duffy Modern Automotive Technology [Text] / James E. Duffy, Liberty Publishing House, 2014. 307 c.
- 23. Mark Schnubel Automotive Suspension and Steering Systems [Text] / Mark Schnubel, Express Publishing, 2013. 365 c.
- 24. Don Knowles Automotive Technician Test Preparation [Text] / Don Knowles, Liberty Publishing House, 2011. 228 c.
- 25. Jack Erjavec Automotive Technology [Text] / Jack Erjavec, Harper Collins, 2010. 388 c.

ПРИЛОЖЕНИЕ А

ГРАФИКИ ТЯГОВОГО РАСЧЕТА

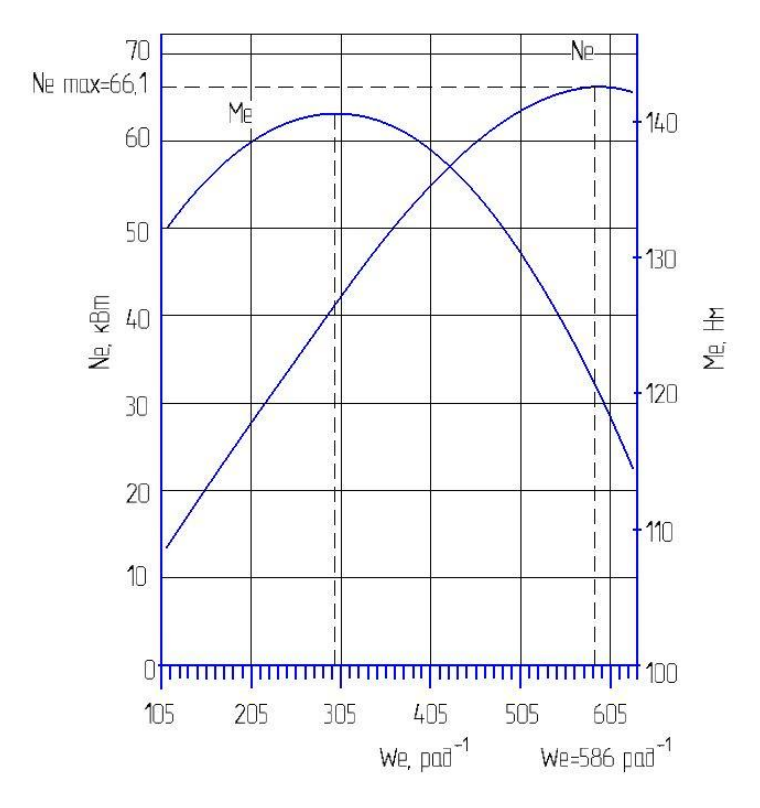


Рисунок А.1 - Внешнескоростная характеристика двигателя

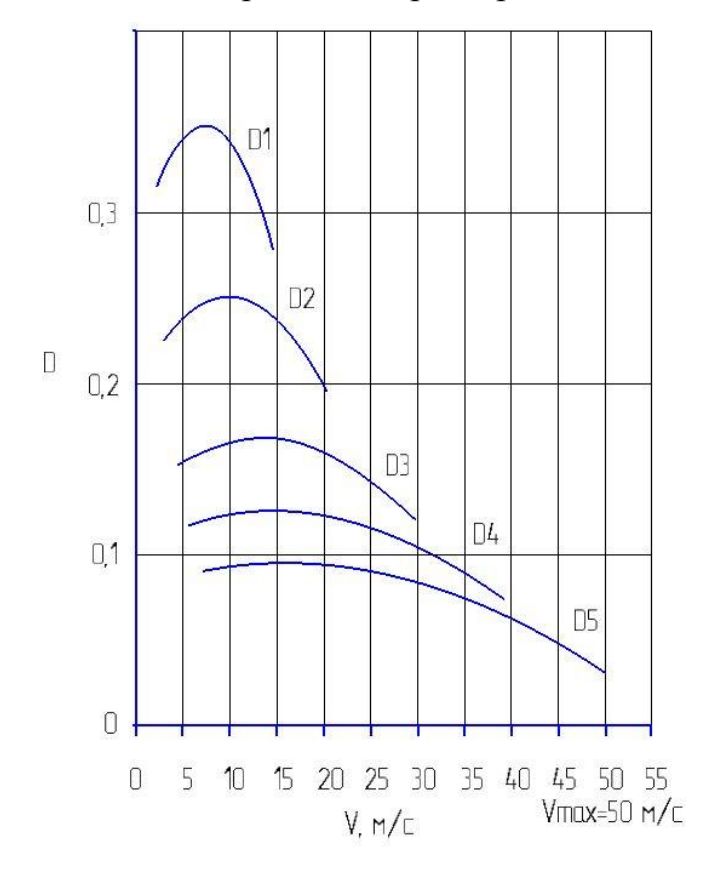


Рисунок А.2 – Динамический фактор автомобиля

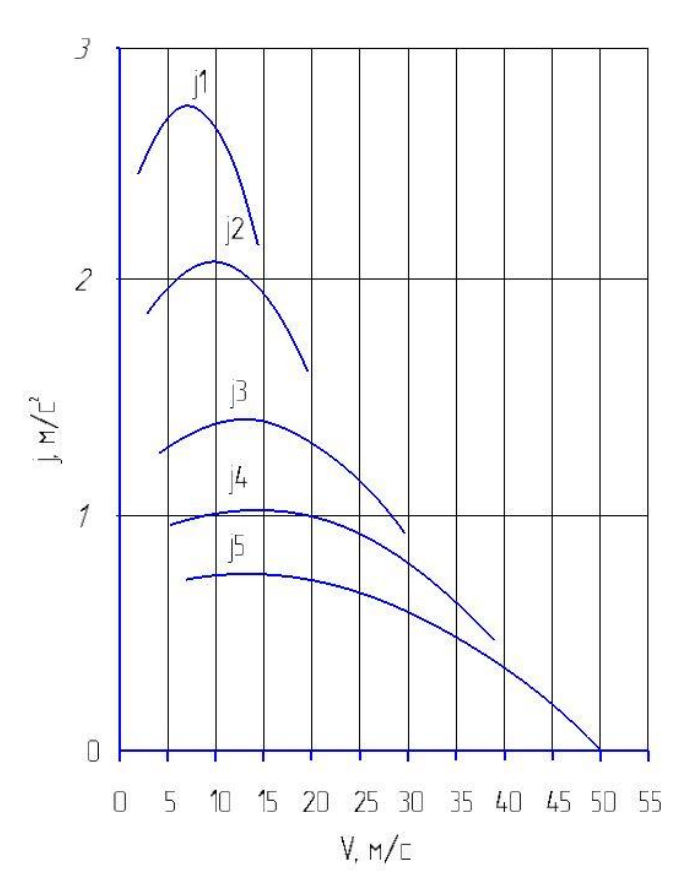


Рисунок А.3 – Ускорения автомобиля

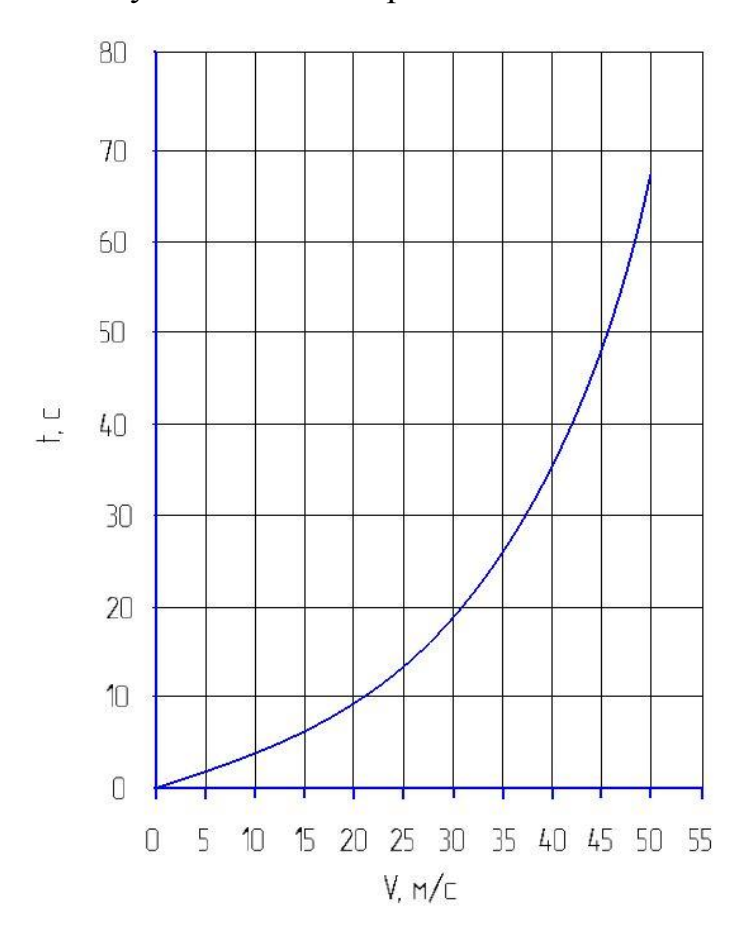


Рисунок А.4 – Время разгона

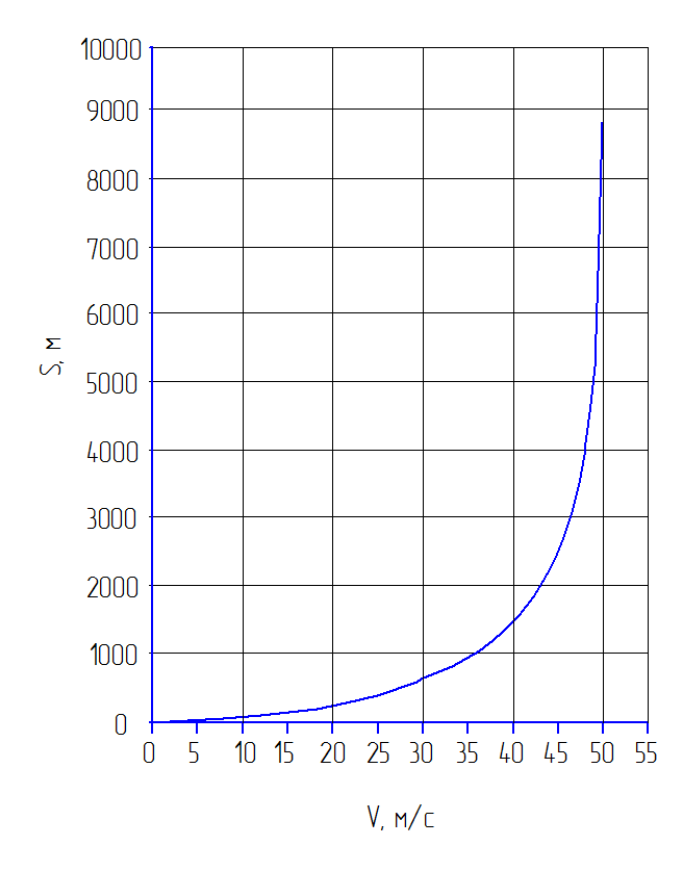


Рисунок А.5 – Путь разгона

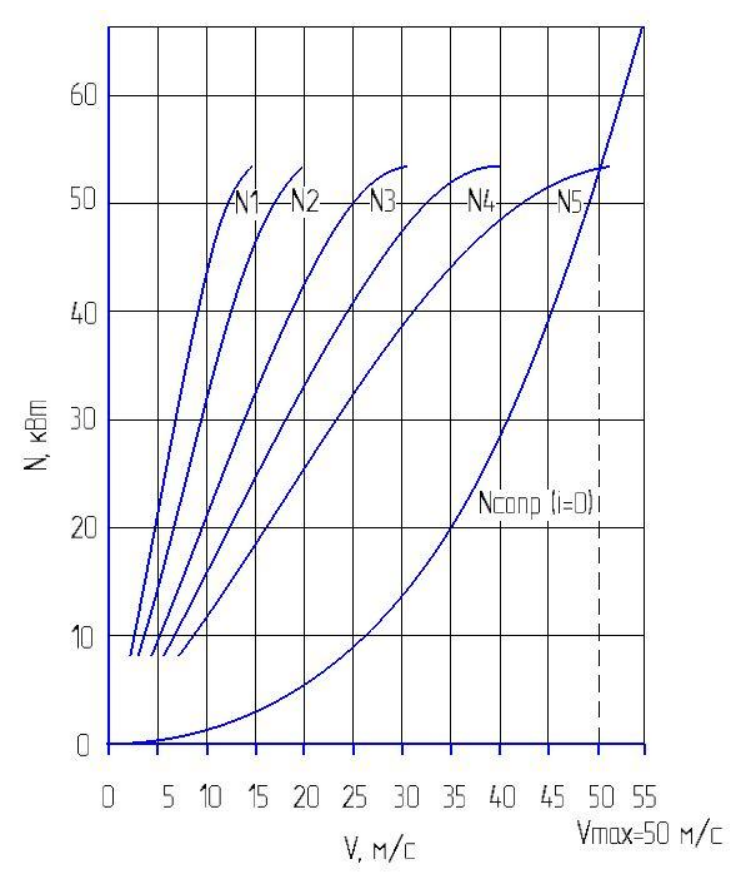


Рисунок А.6 – Мощностной баланс

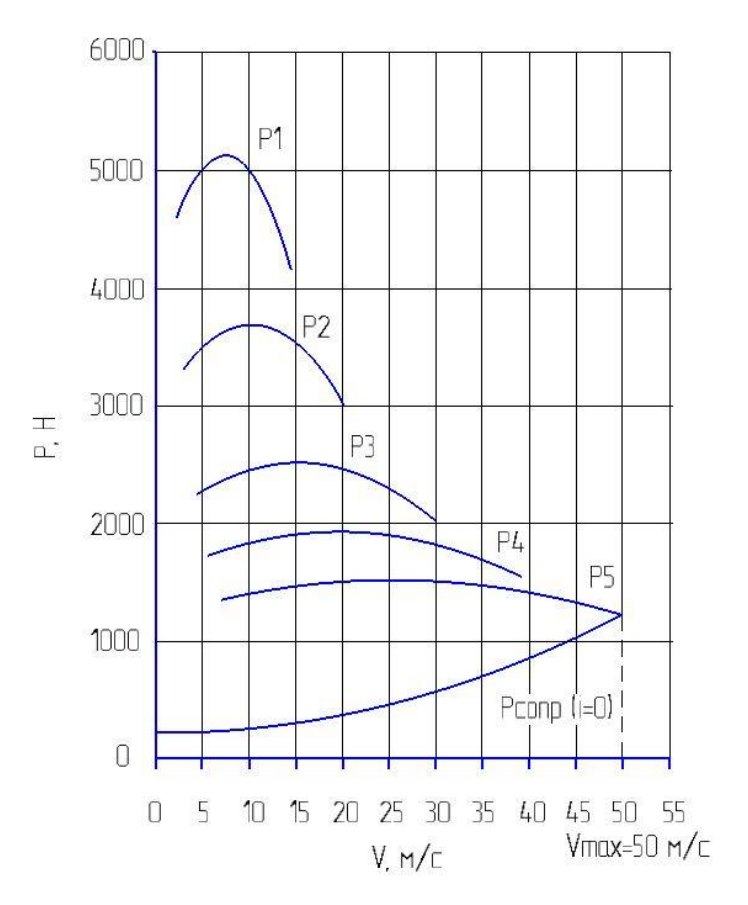


Рисунок А.7 – Тяговый баланс

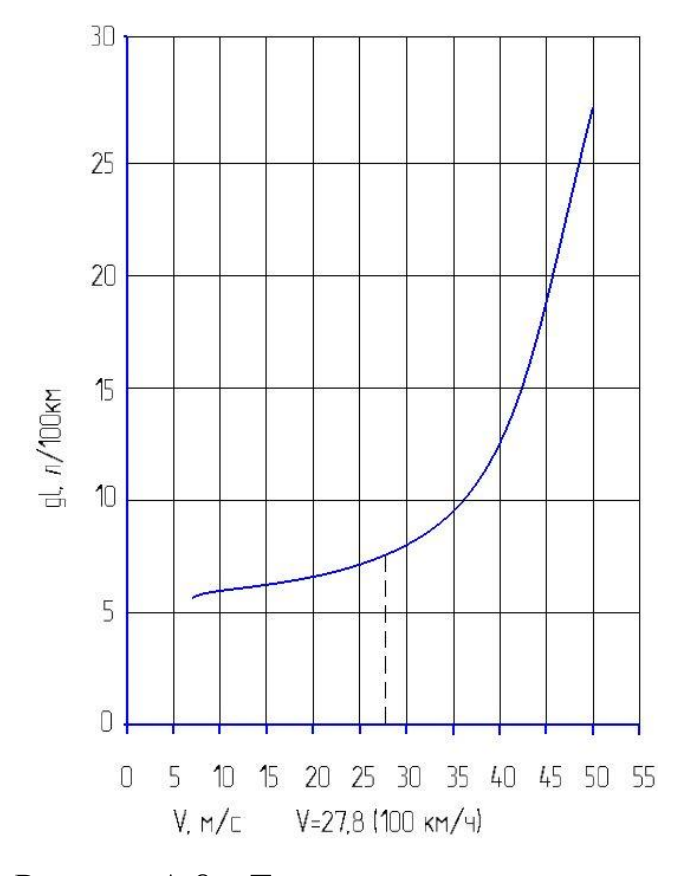


Рисунок А.8 – Топливная экономичность

ПРИЛОЖЕНИЕ Б

СПЕЦИФИКАЦИИ

	формат	Зана	Ma3.	Обозначение	Наименование	Кол.	Приме- чание
Терв, примен,					<u>Документация</u>		
ЛерС	A1			18.ДП.ПиЭА.343.00.000.СБ	Установка передней подвески		2 лист
	F				Сборочные единицы		
	<u> 5</u> 4		1	<i>18.ДП.ПиЭА.343.01.000</i>	Стойка телескопическая передней	1	
D. No	7500				подвески с кулаком и тормозом		
CNDC	A1		2	<i>18.ДП.ПиЭА.343.02.000</i>	правая в сборе Стойка телескопическая передней	1	
					подвески с кулаком и тормозом левая в сборе		
	<u>54</u>	- 8	3	18.ДП.ПиЭА.343.03.000	Рычаг передней подвески	1	
	<u>6</u> 4		4	<i>18.ДП.ПиЭА.34304.000</i>	с растяжкой правый в сборе Рычаг передней подвески	1	
משונ	ΓIJ				с растяжкой левый в сборе	1	
Подп. и дата	<u>5</u> 4		5	<i>18.ДП.Пи.ЭА.343.05.000</i>	Стабилизатор поперечной устойчивости передней	1	
Όν.	H				подвески в сборе	8	
чв. № дубл					<u>Детали</u>		
HG. Nº	<i>5</i> 4		6	18.ДП.ПиЭА.343.06.000.СБ	Кронштейн подушки штанги переднего стабилизатора	2	
Вэам. инв. №	ΓII		7	40 ЛППЭ.А. Э.Д. Э.Д. ООД СГ	поперечной устойчивости	2	
משכ	64 64		7	18.ДП.ПиЭА.З4З.О7.000.СБ 18.ДП.ПиЭА.З4З.08.000.СБ	Колпак ступицы Кольцо уплотнительное	2	
Тодп. и дата	H				колпака ступицы 18.ДП.О1.343.02.00.0	חח	
№ подл.		1 / Jul 3 pač 16.	Ž /	№ <u>докум. Подп. Дата</u> Гаников Р.Н. Покопьев М.В. Чгтпн		<i>ОО</i> Лист 1	7.00
MHB. No	PUKUU UUUKUUHPU UD				חחלאפראוו	ТГУ, Л л. АТ-	

формал	ЗОНО	1703.	Обозначение	Наименование	Кол	Прими чание
<u>54</u>		9	18.ДП.ПиЭА.343.09.000.СБ	Шайба подшипника	2	
				ступицы колес		
_					2	
				Стандартные изделия		
<i>Б</i> 4		10		Шайба 8 ГОСТ 11371-78	2	
<u>5</u> 4		11		Шайба 12 ГОСТ 11371-78	2	
<i>5</i> 4		12		Ша йба 8 ГОСТ 11371–78	10	
<i>5</i> 4		13		Болт М8 ГОСТ 7798-70	2	
<i>Б</i> 4		14		Шай б а 10 ГОСТ 11371-78	6	
64		15		Гайка М20х1.25	2	
				ΓΟCT 5915-70		
<i>5</i> 4		16		Болт M10x1.25x35	2	
				ΓΟCT 7798-70		
64		17		Болт M10x1.25x65	4	
				ΓΟCT 7798-70		
<i>5</i> 4		18		Болт М12х1.25х70	2	
				ΓΟCT 7798-70	er.	
64		19		Гайка М8 ГОСТ 5915–70	2	
<i>5</i> 4		20		Гайка М12х1.25	2	
				ΓΟCT 5915-70		
<u> 54</u>		21		Гайка М8 ГОСТ 5915–70	10	
Б4		22		Гайка М12х1.25	2	
				ΓΟCT 5915-70	15	
_					8	
	Ļ					
	y. /lu		Nº	8.ДП.О1.343.02.00.00	0	/

	Формат	ЗОНО	7103.	Обозначение	Наименование	Кол.	Приме- чание
Эерв, примен		10			<u>Документация</u>		
ЛерС	<u>A1</u>			18.ДП.ПиЭА.343.02.000.СБ	Стойка телескопическая		
					передней подвески с кулаком		
	-				и тармозом левая в сборе		
_					Сборочные единицы		
Tripaß, Nº	A1		1	<i>18.ДП.ПиЭА.343.02.001</i>	Стойка телескопическая	1	
Ŋ					передней подвески левая в сборе		
	64		2	18.ДП.ПиЭА.343.02.002	Тормоз передний с поворотным	1	
					кулаком и ступицей левый		
	-				в сбаре		
משנ					<u>Детали</u>		
Тодп. и дата	<u>54</u>		3	18.ДП.ПиЭА.343.02.003.СБ	Болт крепления стойки	1	
7//		Ц			передней подвески		
ίδη	64		4	18.ДП.ПиЭА.343.02.004.СБ	Болт крепления стойки	1	
No Or					передней подвески нижний		
1HB.	<i>5</i> 4		5	18.ДП.ПиЭА.343.02.005.СБ	Шайба болта крепления стойки	1	
o N					передней подвески к поворотному	2	
UHD.					кулаку	2	
Вэам						29	
משם							
Годп, и дата		Ц			Стандартные изделия		
Nogr	M3r	1. /IUC		N° āokum. Поān. Дата	18.ДП.ПиЭА.343.02.0	00)
нв. Ма подл.	Разраб. Хаников Р.Н. Пров. Прокопьев М.В. Стойк Руков. Прокопьев М.В. ПЕ			Гаников Р.Н. Тоокопьев М.В. Стойка Тооров А.Г. с килака	т телескопическая ПОВ В В В В В В В В В В В В В В В В В В	/IUCM 1 TГУ, I	2 MM
M	9/17		Б	обровский А.В. С КУЛИКО Копир	,	7. <i>AT</i> -	-1301

4	ЭПП	7lo3.		Обозначени	<u>_</u>	Наимено	вание	Кол	Приме чание
1	54	6				Гайка M12x1.2	25	1	
						ΓΟCT 5915-70			
I	54	7				Γαῦκα Μ12x1.2		1	
						ΓΟCT 5915-70			
	T								
								2	
	T							***	
	T								
אמונה	T							+	
Іодп. и дата	t								
100									
<i>L</i> :	†		D.					78	
Nº đườn	+		5.					77	
Ø.	+		32						
<u></u>	+		.8					16 46	
UHD: No	+							3342	
	+		.v.						
Вэам	+							20 00	
	+								
dama	+								
)	+								
/ladir.	+							-	
5	+							*	
IHB. Nº nodri	1	Ц							
V. V.					18	ДП.ПиЭА.З	430201	7/	ΛU
1 1 1 1 1 1 1 1 1 1 1 1 1 1 1 1 1 1 1	13M. /	וורח	№ докцм.	Подп. Дата	10.	ДПЛИЈА.З	4 J.UZ.UL	IU	

	Формат	ЗОНО	No3.	Обозначение	Наименование	Кол.	Приме чание
, примен,		383			<u>Документация</u>		
/lepő.	<u>A1</u>			18.ДП.ПиЭА.З4 <i>3.02.001.СБ</i>	Стойка телескопическая		
					передней подвески левая сборе		
					Сборочные единицы		
. NDOD. Nº	A1		1	18.ДП.ПиЭА.343.02.006	Стойка телескопическая	1	
7			_		передней подвески		
	<i>5</i> 4		2	18.ДП.ПиЭА.343.02.007	Буфер хода сжатия в сборе	1	
	<i>5</i> 4		3	<u> 18.ДП.ПиЭА.З4З.02.008</u>	Опора верхняя в сборе	1	
	i i				<u>Детали</u>		
<i>D</i> (<i>5</i> 4		4	18.ДП.ПиЭА.343.02.009	Пружина передней подвески	1	
Іодії, и дата	<i>5</i> 4		5	18.ДП.ПиЭА.343.02.010	Прокладка изолирующая пружины	1	
100	<i>5</i> 4		6	18.ДП.ПиЭА.343.02.011	Чашка верхняя пружины	1	
1/	<i>5</i> 4		7	18.ДП.ПиЭА.343.02.012	Ограничитель опоры нижний	1	
איי מעטת.	<i>5</i> 4		8	18.ДП.ПиЭА.343.02.013	Ограничитель опоры верхний	1	
No VIHD.	_						
IM. UHB.					<u>Стандартные изделия</u>	,	
7 B3GM.	<i>Б</i> 4		9		Гайка М12х1.25 ГОСТ 5915-70	1	
Іодії, и дата							
/IDQI/		. /luc		№ доким. Подп. Дата	18.ДП.ПиЭА.З43.02.0	101 Лист	
י, אי חססת "א	Πρυ Pyr	Разраб. Хаников Р.Н. Лит. Пров. Прокопьев М.В. Стойка телескопическая Руков. Прокопьев М.В.					Листо. 1 ИМ
ZE ZE	Нконтр. Егоров А.Г. передней подвески в сборе утв. Бобровский А.В. гр.						-1301

85	фармат	Зана	7103.	Обозначение	Наименование 💆 Примечание
Терб, примен.		- 2			Документация
Лерв	A1			18.ДП.ПиЭА.343.02.006.	СБ Стойка телескопическая
					передней подвески
					Сборочные единицы
прав. №	A1		1	<i>18.ДП.ПиЭА.343.02.014</i>	Корпус стойки амортизаторной 1
Ŋ	<i>5</i> 4		2	18.ДП.ПиЭА.З43.02.015	Шток стойки амортизаторной 1
	64		3	18.ДП.ПиЭА.343.02.016	Сальник стойки в сборе 1
	<i>5</i> 4		4	18.ДП.ПиЭА.343.02.017	Втулка направляющая 1
	<u>64</u>		5	18.ДП.ПиЭА.343.02.018	Клапан сжатия 1
					<u>Детали</u>
Тодп, и дата	<u>54</u>		6	<i>18.ДП.ПиЭА.343.02.019</i>	Опора буфера сжатия 1
n U	<u>54</u>		7	18.ДП.ПиЭА.343.02.020	Цилиндр амортизаторной стойки 1
70	<i>5</i> 4		8	18.ДП.ПиЭА.343.02.021	Плунжер буфера отдачи 1
đườn.	<i>5</i> 4		9	18.ДП.ПиЭА.343.02.022	Пружина буфера отдачи 1
HB. Nº C	7				
No					
CHD.					
Вэам	\vdash				
и дата					
Nodn. u	H				18.ДП.ПиЭА.З4З.02.006
7		////		№ докум. Подп. Дата Сантков Р.Н	10.Д11.110JA.J4J.UZ.UUU Лит. Лист Листоl
№ подл	Разраб. Хаников Р.Н. Прав. Прокопьев М.В. Рикав. Прокопьев М.В.			оокопьев М.В. Ст. В окопьев М.В.	ОЙКА ТЕЛЕСКОПИЧЕСКАЯ ТСУ ИМ
MH0.	Н.контр. Егоров А.Г. пере Утв. Бобровский А.В.				передней подвески гр. АТ-1301 Копировал Формат А4

	формат	ЗОНО	1703.	Обозначение	Наименование	Кол.	Приме- чание
Нерв. примен.		- 2			<u>Документация</u>		
Дөц	A1			18.ДП.ПиЭА.343.02.014.СБ	Карпус стайки амортизаторной		
					δ cõope	-	
					Сборочные единицы		
D. No	<u>5</u> 4		1	18.ДП.ПиЭА.343.02.023	Кронштейн стойки передней	1	
CUDC			S		подвески в сборе		
					<u>Детали</u>		
	<u>5</u> 4		2	18.ДП.ПиЭА.343.02.024	Чашка пружины передней	1	
	511			(2.555.7/.7/.7.00.005	подвески нижняя		
7.1	64		3	18.ДП.ПиЭА.343.02.025	Корпус стойки телескопической	1	
שמ	FIL		,	40 555 24 24 2 00 004	передней подвески правый	1	
Тодп, и дата	<i>6</i> 4		4	18.ДП.ПиЭА.343.02.026	Дно корпуса стойки телескопической	1	
Jodn.	ГП			40 000 01 01 01 02 027	передней подвески	1	
	<i>6</i> 4		5	18.ДП.ПиЭА.343.02.027	Рычаг поровотный тяги	1	
дибл	<u>64</u>		6	10 חחחויב אכי אכי חסס	рулевой трапеции Кронитейн направляющий шланга	1	
MHD. No	D7		D	18.ДП.ПиЭА.343.02.028	переднего тормоза парвый	/	
No	_					22	
UHĐ			8				
Вэам.	\perp		<u> </u>				
Юдп, и дата	L	Ш					
Modr	M3I	1. /IUI		Nº āokųм. Поān. Дата	18.ДП.ПиЭА.343.02.0	714	
№ подл.	<i>Ра.</i> Пр. Ру.	3 <i>рай</i> 06. 1406.	5. \rightarrow \int \int \int \int \int \int \int \int	(аников Р.Н. Гокопьев М.В. К.С	орпус стоики	Nucm Try, ,	1
7HD	<u>Н.к</u> Уп.	ОНП <u>.</u> 16.	р. <u>Е</u> Б	-горов А.Г. обровский А.В. Копир	в сборе гр. АТ-1301		